

ASSE VIARIO MARCHE – UMBRIA E QUADRILATERO DI PENETRAZIONE INTERNA MAXI LOTTO 2

LAVORI DI COMPLETAMENTO DELLA DIRETTRICE PERUGIA ANCONA:
SS. 318 DI “VALFABBRICA”. TRATTO PIANELLO – VALFABBRICA
SS. 76 “VAL D’ESINO”. TRATTI FOSSATO VICO – CANCELLI E ALBACINA – SERRA SAN QUIRICO
“PEDEMONTANA DELLE MARCHE”, TRATTO FABRIANO – MUCCIA – SFERZIA

PERIZIA DI VARIANTE

| | | |
|---|--|---|
| <p>CONTRAENTE GENERALE</p>  | <p>IL RESPONSABILE DEL CONTRAENTE GENERALE</p> | |
| <p>PROGETTAZIONE</p> <p>Partecipazioni Italia S.p.A.</p> <p>IL PROGETTISTA Dott. Ing. Salvatore Lieto Ordine degli Ingegneri Prov. di Mantova n.1147</p> <p>IL GEOLOGO Geol. Amedeo Babbini Ordine dei Geologi Regione Toscana n.1032</p> | <p>ASSISTENZA ALLA PROGETTAZIONE</p>  <p>IL PROGETTISTA Ing. Valter Capata</p> | |
| <p>VISTO IL RESPONSABILE DEL PROCEDIMENTO</p> <p>Ing. Iginio Farotti</p> | <p>IL COORDINATORE DELLA SICUREZZA IN FASE DI ESECUZIONE</p> <p>Ing. Vincenzo Pardo</p> | <p>IL DIRETTORE DEI LAVORI</p> <p>Ing. Peppino Marascio</p> |

2.1.3 PEDEMONTANA DELLE MARCHE

3° stralcio funzionale: Castelraimondo nord – Castelraimondo sud
4° stralcio funzionale: Castelraimondo sud – innesto S.S. 77 a Muccia

SCALA:

DATA:

Luglio 2022

OPERE D'ARTE MINORI: GENERALE

Muro in terra rinforzata in SX dal km 6+690 al km 6+730
Relazione tecnica e di calcolo

Codice Unico di Progetto (CUP) F12C03000050021 (Assegnato CIPE 20.04.2015)

| Opera | Tratto | Settore | CEE | WBS | Id. doc. | N. prog. | Rev. |
|-----------|--------|---------|-----|-------------|----------|----------|------|
| L 0 7 0 3 | 2 1 3 | E | 1 6 | M U 0 0 3 7 | R E L | 0 1 | D |

Codice Elaborato:

| REV. | DATA | DESCRIZIONE | Redatto | | Controllato | Approvato |
|------|----------------|---|---------|--------------|-------------|------------|
| A | Settembre 2020 | Emissione PE | Progin | M. Tartaglia | S.Lieto | A.Grimaldi |
| B | Maggio 2021 | Emissione PED | SGS | C. Agostini | V. Capata | S. Lieto |
| C | Gennaio 2022 | Emissione a seguito istruttoria ANAS 22.12.2021 | SGS | C. Agostini | V. Capata | S. Lieto |

| | | | | | | | |
|---|-------------|--|-----|------------|----------|---------|--|
| D | Luglio 2022 | Emissione a seguito istruttoria ANAS 18.07.2022 | SGS | C.Agostini | V.Capata | S:Lieto | |
|---|-------------|--|-----|------------|----------|---------|--|

2.1.3 PEDEMONTANA DELLE MARCHE

3° stralcio funzionale: Castelraimondo nord – Castelraimondo sud

4° stralcio funzionale: Castelraimondo sud – innesto S.S. 77 a Muccia

Opere d'arte minori: Opere di sostegno e dreni

Muro in terra rinforzata in SX dal km 6+690 al km 6+730 - Relazione tecnica e di calcolo

| | | | | | | | | |
|---------------|---------------|--------------|-----------|---------------|---------------|---------------|-----------|------------------------|
| Opera L073 | Tratto 213 | Settore E | CEE 16 | WBS MU0037 | Id.doc REL | N.prog. 01 | Rev. D | Pag.di Pag. 3 di 23 |
|---------------|---------------|--------------|-----------|---------------|---------------|---------------|-----------|------------------------|

INDICE

| | |
|---|-----------|
| 1. GENERALITÀ | 4 |
| 2. DOCUMENTI DI RIFERIMENTO | 5 |
| 2.1 DOCUMENTI DI PROGETTO | 5 |
| 2.2 NORMATIVE DI RIFERIMENTO | 5 |
| 2.3 SOFTWARE | 5 |
| 3. DESCRIZIONE DELL' OPERA | 6 |
| 4. CARATTERISTICHE DELLE TERRE RINFORZATE | 9 |
| 5. MODELLO GEOTECNICO DI RIFERIMENTO | 10 |
| 5.1 LIVELLO DELLA FALDA | 10 |
| 5.2 PARAMETRI GEOTECNICI | 10 |
| 6. CARATTERIZZAZIONE SISMICA | 12 |
| 7. VERIFICA DEI MURI DI SOSTEGNO IN TERRA RINFORZATA | 13 |
| 7.1 VERIFICHE GEOTECNICHE | 13 |
| 7.1.1 STABILITA' GLOBALE | 13 |
| 7.1.2 STABILITA' LOCALE | 13 |
| 7.2 VERIFICHE STRUTTURALI GEOGRIGLIE | 14 |
| 8. STATI LIMITE E COMBINAZIONI DI CALCOLO | 15 |
| 8.1 STATI LIMITE CONSIDERATI | 15 |
| 9. ANALISI DEI CARICHI | 17 |
| 9.1 CARICHI PERMANENTI | 17 |
| 9.2 SOVRACCARICHI ACCIDENTALI | 17 |
| 9.3 AZIONE SISMICA | 17 |
| 10. ANALISI E VERIFICHE | 19 |
| 10.1 SEZIONE DI CALCOLO | 19 |
| 10.2 RISULTATI DELLE ANALISI: SEZIONE TERRA RINFORZATA | 19 |
| 10.2.1 Stabilità locale | 19 |
| 10.2.2 Verifiche strutturali geogriglie | 20 |
| 10.2.3 Stabilità globale | 20 |
| 11. CONCLUSIONI | 22 |
| ALLEGATO A | 23 |
| REPORT DI CALCOLO VERIFICHE GEOTECNICHE | 23 |



2.1.3 PEDEMONTANA DELLE MARCHE

3° stralcio funzionale: Castelraimondo nord – Castelraimondo sud

4° stralcio funzionale: Castelraimondo sud – innesto S.S. 77 a Muccia

Opere d'arte minori: Opere di sostegno e dreni

Muro in terra rinforzata in SX dal km 6+690 al km 6+730 - Relazione tecnica e di calcolo

| | | | | | | | | |
|---------------|---------------|--------------|-----------|---------------|---------------|---------------|-----------|------------------------|
| Opera L073 | Tratto 213 | Settore E | CEE 16 | WBS MU0037 | Id.doc REL | N.prog. 01 | Rev. D | Pag.di Pag. 4 di 23 |
|---------------|---------------|--------------|-----------|---------------|---------------|---------------|-----------|------------------------|

1. GENERALITÀ

Il presente documento costituisce la relazione di calcolo del Progetto Esecutivo di Dettaglio (PED) delle opere geotecniche di contenimento previste nell'ambito dei lavori di completamento degli stralci funzionali 3 e 4 del tratto della Pedemontana delle Marche.

La redazione del Progetto Esecutivo di Dettaglio ha lo scopo di ottimizzare, laddove possibile, le opere geotecniche oggetto del Progetto Esecutivo. A tal fine, sono state prese come riferimento per la ottimizzazione le valutazioni e caratterizzazioni idrogeologico, geotecniche e sismiche dei siti in esame presenti nel Progetto Esecutivo. I calcoli e le verifiche di sicurezza in conformità alle norme NTC 2008.

2.1.3 PEDEMONTANA DELLE MARCHE**3° stralcio funzionale: Castelraimondo nord – Castelraimondo sud****4° stralcio funzionale: Castelraimondo sud – innesto S.S. 77 a Muccia**

Opere d'arte minori: Opere di sostegno e dreni

Muro in terra rinforzata in SX dal km 6+690 al km 6+730 - Relazione tecnica e di calcolo

| | | | | | | | | |
|---------------|---------------|--------------|-----------|---------------|---------------|---------------|-----------|------------------------|
| Opera L073 | Tratto 213 | Settore E | CEE 16 | WBS MU0037 | Id.doc REL | N.prog. 01 | Rev. D | Pag.di Pag. 5 di 23 |
|---------------|---------------|--------------|-----------|---------------|---------------|---------------|-----------|------------------------|

2. DOCUMENTI DI RIFERIMENTO

Nella redazione del progetto esecutivo di dettaglio si è fatto riferimento ai seguenti documenti.

2.1 DOCUMENTI DI PROGETTO

- L0703213E01000000REL01D - Relazione tecnica generale
- L0703213E02GE0000REL01C - Relazione geologica, geomorfologica e geoidrologica generale
- L03213E02GE0001REL01D - Relazione geotecnica generale sulle opere all'aperto e gallerie artificiali
- L0703213E04000000REL01D - Relazione sismica
- L0703213E02GE0000PRF04C – Profilo geologico
- L0703213E02GE0001PRF04D – Profilo geotecnico
- L0703213E16OS0000REL01B – Relazione tecnica e di calcolo opere di sostegno in terra rinforzata

2.2 NORMATIVE DI RIFERIMENTO

Nella redazione del progetto esecutivo si è fatto riferimento ai seguenti documenti normativi.

- D.M. 14/01/2008 "Norme tecniche per le costruzioni" (NTC).
- Circolare del 02/02/2009. Istruzioni per l'applicazione delle "Norme tecniche per le costruzioni" di cui al D.M. del 14/01/2008.
- UNI EN1990 EUROCODICE 0 – Criteri generali di progettazione strutturale.
- UNI EN1991 EUROCODICE 1 – Azioni sulle strutture
- UNI EN1992-1-1 EUROCODICE 2, parte 1-1 Progettazione delle strutture in calcestruzzo. Parte 1-1: Regole generali e regole per gli edifici.
- UNI EN 1997-1. EUROCODICE 7, parte 1. Progettazione geotecnica. Parte 1: Regole generali
- UNI EN 1998-5. EUROCODICE 8, parte 5. Progettazione delle strutture per la resistenza sismica. Parte 5: Fondazioni, strutture di contenimento ed aspetti geotecnici.

2.3 SOFTWARE

GeoStru 2021 - www.geostru.eu

2.1.3 PEDEMONTANA DELLE MARCHE

3° stralcio funzionale: Castelraimondo nord – Castelraimondo sud

4° stralcio funzionale: Castelraimondo sud – innesto S.S. 77 a Muccia

Opere d'arte minori: Opere di sostegno e dreni

Muro in terra rinforzata in SX dal km 6+690 al km 6+730 - Relazione tecnica e di calcolo

| | | | | | | | | |
|---------------|---------------|--------------|-----------|---------------|---------------|---------------|-----------|-----------------------|
| Opera L073 | Tratto 213 | Settore E | CEE 16 | WBS MU0037 | Id.doc REL | N.prog. 01 | Rev. D | Pag.diPag. 6 di 23 |
|---------------|---------------|--------------|-----------|---------------|---------------|---------------|-----------|-----------------------|

3. DESCRIZIONE DELL' OPERA

Le analisi e verifiche nel seguito esposte fanno riferimento, in particolare, all'opera di sostegno MU0037 situata in SX dell'asse stradale, dal km 6+690 al km 6+730, per uno sviluppo totale di circa 40 m.

L'opera in oggetto è costituita da un muro di sostegno in terra rinforzata, di altezza variabile secondo quanto descritto nel seguito, previsto a margine del corpo stradale dell'asse principale e necessario a garantirne la stabilità in accordo alle NTC2008.

Nelle seguenti figure sono rappresentate la pianta, il profilo longitudinale ed una generica sezione dell'opera in oggetto. Per ulteriori dettagli si rimanda agli elaborati grafici di riferimento.

2.1.3 PEDEMONTANA DELLE MARCHE

3° stralcio funzionale: Castelraimondo nord – Castelraimondo sud

4° stralcio funzionale: Castelraimondo sud – innesto S.S. 77 a Muccia

Opere d'arte minori: Opere di sostegno e dreni

Muro in terra rinforzata in SX dal km 6+690 al km 6+730 - Relazione tecnica e di calcolo

| | | | | | | | | |
|-------|--------|---------|-----|--------|--------|---------|------|-------------|
| Opera | Tratto | Settore | CEE | WBS | Id.doc | N.prog. | Rev. | Pag.di Pag. |
| L073 | 213 | E | 16 | MU0037 | REL | 01 | D | 7 di 23 |

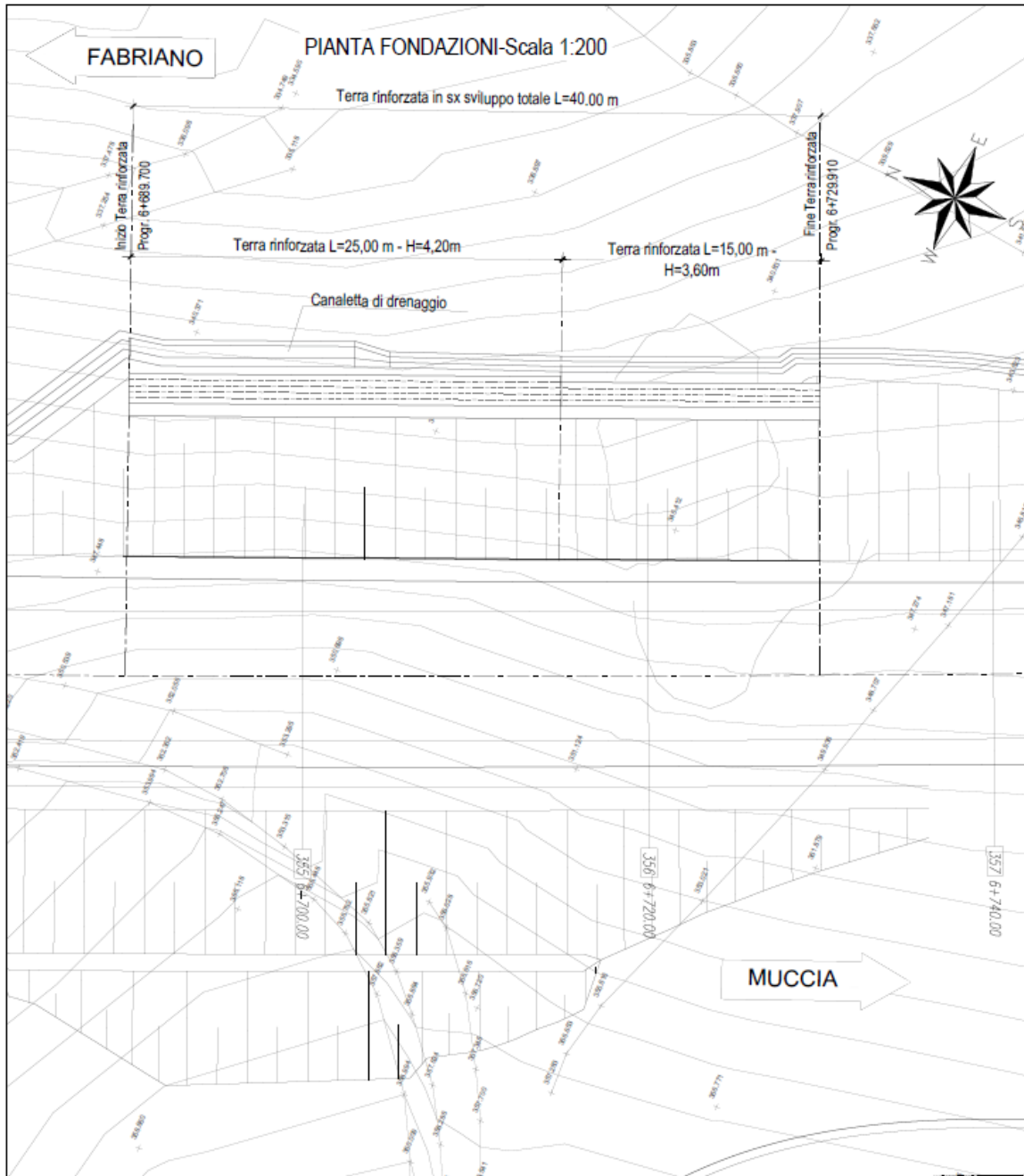


Figura 1 – Pianta dell'opera

2.1.3 PEDEMONTANA DELLE MARCHE

3° stralcio funzionale: Castelraimondo nord – Castelraimondo sud

4° stralcio funzionale: Castelraimondo sud – innesto S.S. 77 a Muccia

Opere d'arte minori: Opere di sostegno e dreni

Muro in terra rinforzata in SX dal km 6+690 al km 6+730 - Relazione tecnica e di calcolo

| | | | | | | | | |
|-------|--------|---------|-----|--------|--------|---------|------|-------------|
| Opera | Tratto | Settore | CEE | WBS | Id.doc | N.prog. | Rev. | Pag.di Pag. |
| L073 | 213 | E | 16 | MU0037 | REL | 01 | D | 8 di 23 |

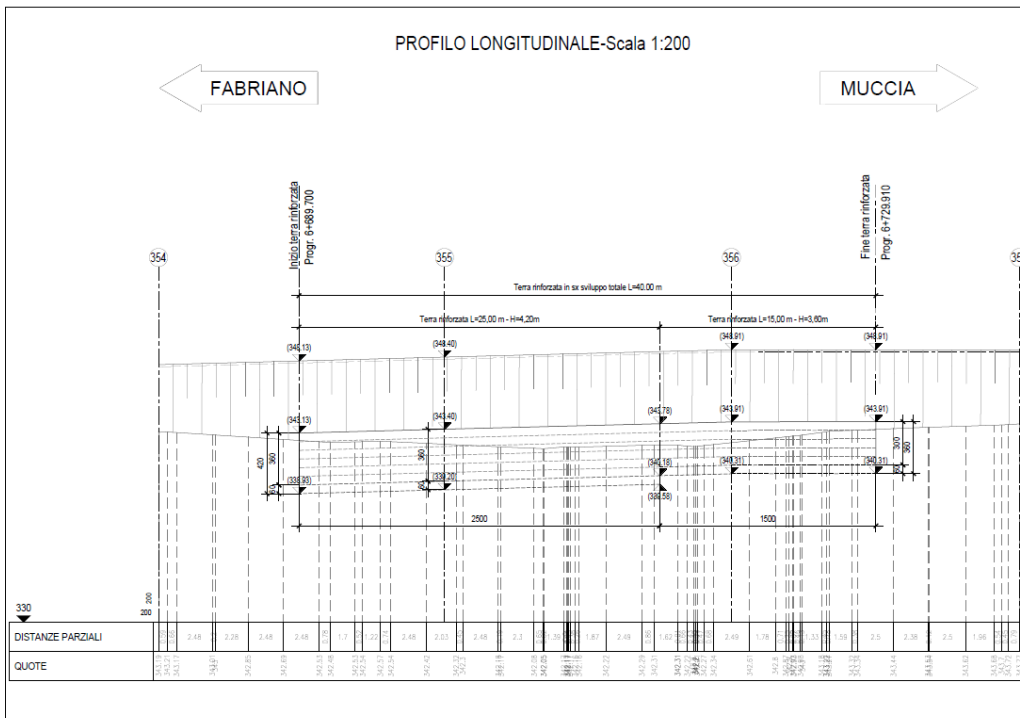


Figura 2 – Profilo longitudinale MU0037

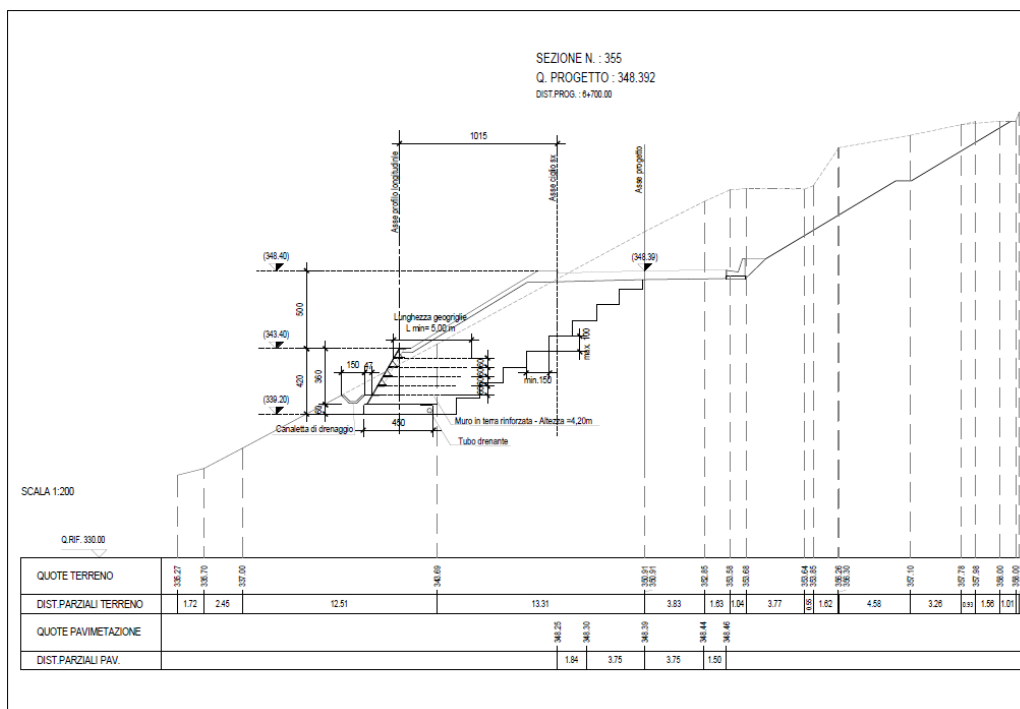


Figura 3 – Generica sezione MU0037

2.1.3 PEDEMONTANA DELLE MARCHE

3° stralcio funzionale: Castelraimondo nord – Castelraimondo sud

4° stralcio funzionale: Castelraimondo sud – innesto S.S. 77 a Muccia

Opere d'arte minori: Opere di sostegno e dreni

Muro in terra rinforzata in SX dal km 6+690 al km 6+730 - Relazione tecnica e di calcolo

| | | | | | | | | |
|---------------|---------------|--------------|-----------|---------------|---------------|---------------|-----------|-----------------------|
| Opera L073 | Tratto 213 | Settore E | CEE 16 | WBS MU0037 | Id.doc REL | N.prog. 01 | Rev. D | Pag.diPag. 9 di 23 |
|---------------|---------------|--------------|-----------|---------------|---------------|---------------|-----------|-----------------------|

4. CARATTERISTICHE DELLE TERRE RINFORZATE

Per la realizzazione di muri in terra rinforzata è stato previsto di adottare la tipologia Terramesh Verde Light prodotta da Maccaferri.

I Terramesh® Verde Light sono elementi utilizzati per costruire strutture in terra rinforzata con paramento rinverdibile realizzati in rete metallica a doppia torsione con maglia esagonale, tipo 8x10, tessuta con filo d'acciaio, con rivestimento PoliMac.

Gli elementi sono prodotti in conformità al CPR - Regolamento sui prodotti da Costruzione 305/2011 e alla ENB 10223-3, e presentano le caratteristiche di resistenza riportate di seguito:

- Resistenza a trazione nominale della rete 35kN/m

Per quanto riguarda il materiale costituente la terra rinforzata, si prevede l'utilizzo di un terreno caratterizzato da un peso dell'unità di volume $\gamma = 20 \text{ KN/mc}$ ed un angolo d'attrito $\varphi=35^\circ$.

2.1.3 PEDEMONTANA DELLE MARCHE

3° stralcio funzionale: Castelraimondo nord – Castelraimondo sud

4° stralcio funzionale: Castelraimondo sud – innesto S.S. 77 a Muccia

Opere d'arte minori: Opere di sostegno e dreni

Muro in terra rinforzata in SX dal km 6+690 al km 6+730 - Relazione tecnica e di calcolo

| | | | | | | | | |
|---------------|---------------|--------------|-----------|---------------|---------------|---------------|-----------|------------------------|
| Opera L073 | Tratto 213 | Settore E | CEE 16 | WBS MU0037 | Id.doc REL | N.prog. 01 | Rev. D | Pag.diPag. 10 di 23 |
|---------------|---------------|--------------|-----------|---------------|---------------|---------------|-----------|------------------------|

5. MODELLO GEOTECNICO DI RIFERIMENTO

Nel presente paragrafo si riporta la caratterizzazione geotecnica specifica per l'opera in esame. Per dettagli si rimanda alla Relazione Geotecnica Generale. Si sottolinea, comunque, che mediamente il profilo stratigrafico presenta un primo strato di depositi coesivi limoso argillosi che si estendono sino ad una profondità media di circa 6 m. Al di sotto di tale strato è presente una fascia di spessore variabile costituita da argilla limosa, marnosa, consistente che sovrasta il substrato a carattere da semilitoide a litoide, e rappresenta la parte superiore alterata del substrato. Quest'ultimo è costituito dalla Formazione di Camerino.

Nell'area adiacente all'opera in oggetto il sondaggio di riferimento, più prossimo alla stessa, risulta essere il seguente: P26.

Analizzando il profilo geologico geotecnico, con riferimento ai tratti di ubicazione dell'opera di sostegno oggetto di dimensionamento, è possibile dunque assumere cautelativamente, la seguente configurazione stratigrafica:

Tabella 1 - Stratigrafia di riferimento MU0037

| Unità geotecnica | Profondità dal piano campagna [m da p.c.] | Descrizione |
|------------------|---|---|
| Ecla | 0 ÷ 6.4 | Depositi eluvio colluviali limoso argillosi |
| Salt | 6.4 ÷ 8.4 | Substrato alterato argilloso limo |
| Ap | 8.4 ÷ 20.0 | Substrato arenaceo pelitico |
| Pa | >20.0 | Substrato pelitico arenaceo |

5.1 LIVELLO DELLA FALDA

La falda è riscontrata a profondità variabili. Nelle analisi si assume cautelativamente un livello di falda prossima ad una profondità di circa 1 metro dal piano di posa della terra rinforzata.

5.2 PARAMETRI GEOTECNICI

I parametri geotecnici considerati per l'opera in esame sono riportati nella seguente tabella. Essi fanno riferimento ai parametri medi dei range riportati nella relazione geotecnica generale L03213E02GE0001REL01D e nel profilo geotecnico L0703213E02GE0001PRF04D.

2.1.3 PEDEMONTANA DELLE MARCHE

3° stralcio funzionale: Castelraimondo nord – Castelraimondo sud

4° stralcio funzionale: Castelraimondo sud – innesto S.S. 77 a Muccia

Opere d'arte minori: Opere di sostegno e dreni

Muro in terra rinforzata in SX dal km 6+690 al km 6+730 - Relazione tecnica e di calcolo

| | | | | | | | | |
|---------------|---------------|--------------|-----------|---------------|---------------|---------------|-----------|-------------------------|
| Opera L073 | Tratto 213 | Settore E | CEE 16 | WBS MU0037 | Id.doc REL | N.prog. 01 | Rev. D | Pag.di Pag. 11 di 23 |
|---------------|---------------|--------------|-----------|---------------|---------------|---------------|-----------|-------------------------|

Tabella 2 - Parametri geotecnici terreno in sito

| Unità | γ [kN/m ³] | ϕ' [°] | c' [kPa] |
|-------|----------------------------------|----------------|---------------|
| Ecla | 19 | 25 | 10 |
| Salt | 19 | 26 | 10 |
| Ap | 23 | 36 | 70 |

Per il materiale costituente il rilevato stradale, vengono considerati i seguenti parametri caratteristici:

Tabella 3 –Parametri geotecnici rinterro

| Unità | γ [kN/m ³] | ϕ' [°] | c' [kPa] |
|----------|----------------------------------|----------------|---------------|
| Rilevato | 20 | 35 | 0 |

γ = peso dell'unità di volume

ϕ' = angolo di resistenza al taglio

c' = coesione drenata

2.1.3 PEDEMONTANA DELLE MARCHE

3° stralcio funzionale: Castelraimondo nord – Castelraimondo sud

4° stralcio funzionale: Castelraimondo sud – innesto S.S. 77 a Muccia

Opere d'arte minori: Opere di sostegno e dreni

Muro in terra rinforzata in SX dal km 6+690 al km 6+730 - Relazione tecnica e di calcolo

| | | | | | | | | |
|---------------|---------------|--------------|-----------|---------------|---------------|---------------|-----------|-------------------------|
| Opera L073 | Tratto 213 | Settore E | CEE 16 | WBS MU0037 | Id.doc REL | N.prog. 01 | Rev. D | Pag.di Pag. 12 di 23 |
|---------------|---------------|--------------|-----------|---------------|---------------|---------------|-----------|-------------------------|

6. CARATTERIZZAZIONE SISMICA

Per la caratterizzazione sismica del sito si rimanda alle considerazioni presenti nella relazione sismica (L0703213E04000000REL01D).

Di seguito si riportano i parametri di progetto adottati per le verifiche della stabilità dell'opera in caso di azione sismica.

Tabella 4 – Periodo di riferimento azione sismica

| Vita nominale V_N | Classe d'uso | Coefficiente d'uso | Periodo di riferimento V_R |
|------------------------|--------------|-----------------------|---------------------------------|
| 50 | III | 1.5 | 75 |

Tabella 5 - Accelerazione (a_g), fattore (F_0) e periodo (T^*c)

| V_R [anni] | Stato Limite | PV_R - | T_R [anni] | a_g [g] | F_0 [-] | T_c [s] |
|-----------------|--------------|-------------|-----------------|--------------|--------------|--------------|
| 75 | SLO | 81% | 45 | 0.078 | 2.440 | 0.285 |
| | SLD | 63% | 75 | 0.097 | 2.433 | 0.295 |
| | SLV | 10% | 712 | 0.220 | 2.544 | 0.333 |
| | SLC | 5% | 1462 | 0.277 | 2.584 | 0.343 |

Lo spettro di risposta elastico per la descrizione della componente orizzontale del moto sismico è infine costruito a partire dai parametri seguenti.

Tabella 6 – Caratterizzazione sito

| Categoria di sottosuolo | Categoria topografica | S_s , fattore stratigrafico | S_t , fattore topografico |
|----------------------------|--------------------------|----------------------------------|--------------------------------|
| C | T1 | 1.365 | 1.0 |

Il fattore S_s è calcolato come da tabella 3.2.V delle NTC 2008.

2.1.3 PEDEMONTANA DELLE MARCHE

3° stralcio funzionale: Castelraimondo nord – Castelraimondo sud

4° stralcio funzionale: Castelraimondo sud – innesto S.S. 77 a Muccia

Opere d'arte minori: Opere di sostegno e dreni

Muro in terra rinforzata in SX dal km 6+690 al km 6+730 - Relazione tecnica e di calcolo

| | | | | | | | | |
|---------------|---------------|--------------|-----------|---------------|---------------|---------------|-----------|-------------------------|
| Opera L073 | Tratto 213 | Settore E | CEE 16 | WBS MU0037 | Id.doc REL | N.prog. 01 | Rev. D | Pag.di Pag. 13 di 23 |
|---------------|---------------|--------------|-----------|---------------|---------------|---------------|-----------|-------------------------|

7. VERIFICA DEI MURI DI SOSTEGNO IN TERRA RINFORZATA

Di seguito si riassumono le verifiche condotte per la stabilità globale e locale del muro di sostegno in terra rinforzata ed i metodi di calcolo utilizzati.

7.1 VERIFICHE GEOTECNICHE

7.1.1 STABILITA' GLOBALE

La verifica di stabilità globale del complesso opera di sostegno-terrapieno è condotta mediante l'ausilio del programma di calcolo SLOPE STABILITY ANALYSIS di Geostru.

Per la verifica si fa riferimento al metodo dell'equilibrio limite di Bishop.

Per ulteriori approfondimenti teorici sul metodo di calcolo si rimanda alla relazione in Allegato A.

7.1.2 STABILITA' LOCALE

La verifica di stabilità dell'opera di sostegno è condotta mediante l'ausilio del modulo SLOPE/M.R.E. che fa parte del programma di calcolo SLOPE STABILITY ANALYSIS di Geostru.

La stabilità dell'opera viene verificata nel suo insieme considerandola come un corpo rigido, risulta assicurata, quando è verificata la sicurezza a:

- Ribaltamento: rappresentato dalla possibile rotazione dell'opera rispetto al punto di valle.
- Scorrimento: dipende dalla possibilità che le forze parallele al piano di contatto tra fondazione e terreno siano superiori alle forze di attrito terreno-fondazione.
- Carico limite: si effettua confrontando la tensione normale massima sul piano di posa della fondazione con la tensione limite di rottura del terreno.

Per ulteriori approfondimenti teorici sul metodo di calcolo si rimanda alla relazione in Allegato A.

7.1.3 VERIFICHE STATO LIMITE ESERCIZIO TERRE RINFORZATE

Nei riguardi degli SLE, in accordo a quanto specificato al paragrafo 6.5.3.2 del DM 14 -01-08 "Verifiche di esercizio" per muri di sostegno, la verifica dell'opera di sostegno nelle condizioni di esercizio, deve essere incentrata nel valutare la compatibilità degli spostamenti dell'opera stessa nei riguardi della funzionalità e stabilità di eventuali manufatti adiacenti.

Non si segnala la presenza di manufatti di particolare rilievo nelle immediate vicinanze delle opere in progetto, pertanto si ritiene non significativo procedere con verifiche degli spostamenti dell'opera stessa.

Le deformazioni massime attese sono da ritenersi comunque ampiamente compatibili nei riguardi degli aspetti funzionali dell'infrastruttura in progetto.

2.1.3 PEDEMONTANA DELLE MARCHE

3° stralcio funzionale: Castelraimondo nord – Castelraimondo sud

4° stralcio funzionale: Castelraimondo sud – innesto S.S. 77 a Muccia

Opere d'arte minori: Opere di sostegno e dreni

Muro in terra rinforzata in SX dal km 6+690 al km 6+730 - Relazione tecnica e di calcolo

| | | | | | | | | |
|---------------|---------------|--------------|-----------|---------------|---------------|---------------|-----------|-------------------------|
| Opera L073 | Tratto 213 | Settore E | CEE 16 | WBS MU0037 | Id.doc REL | N.prog. 01 | Rev. D | Pag.di Pag. 14 di 23 |
|---------------|---------------|--------------|-----------|---------------|---------------|---------------|-----------|-------------------------|

7.2 VERIFICHE STRUTTURALI GEOGRIGLIE

Le verifiche interne o strutturali delle geogriglie vengono condotte mediante l'ausilio del modulo SLOPE/M.R.E. che fa parte del programma di calcolo SLOPE STABILITY ANALYSIS di Geostru.

Le verifiche riguardano la capacità delle geogriglie a:

- Sfilamento
- Scorrimento
- Resistenza a trazione

Sia per lo sfilamento che per lo scorrimento vengono dimensionate le lunghezze efficaci necessarie a sviluppare delle forze di attrito tali da contrastare la forza di trazione indotta nei rinforzi, ciò viene effettuata garantendo un assegnato fattore di sicurezza.

La verifica della resistenza a trazione consiste nel dimensionare la sezione nel rinforzo in modo tale da avere delle tensioni indotte inferiori a quella ammissibile.

Per ulteriori approfondimenti teorici sul metodo di calcolo si rimanda al capitolo 5 della relazione tecnica e di calcolo di opere di sostegno in terra rinforzata (L0703213E16OS0000REL01B) e all' Allegato A.

2.1.3 PEDEMONTANA DELLE MARCHE

3° stralcio funzionale: Castelraimondo nord – Castelraimondo sud

4° stralcio funzionale: Castelraimondo sud – innesto S.S. 77 a Muccia

Opere d'arte minori: Opere di sostegno e dreni

Muro in terra rinforzata in SX dal km 6+690 al km 6+730 - Relazione tecnica e di calcolo

| | | | | | | | | |
|---------------|---------------|--------------|-----------|---------------|---------------|---------------|-----------|------------------------|
| Opera L073 | Tratto 213 | Settore E | CEE 16 | WBS MU0037 | Id.doc REL | N.prog. 01 | Rev. D | Pag.diPag. 15 di 23 |
|---------------|---------------|--------------|-----------|---------------|---------------|---------------|-----------|------------------------|

8. STATI LIMITE E COMBINAZIONI DI CALCOLO

8.1 STATI LIMITE CONSIDERATI

Per i muri di sostegno o per altre strutture miste ad essi assimilabili, devono essere effettuate le verifiche con riferimento almeno ai seguenti stati limite:

- SLU di tipo geotecnico (GEO) e di equilibrio di corpo rigido per la verifica della stabilità globale e locale dell'opera di sostegno
- SLU di tipo strutturale (STR) per il raggiungimento della resistenza negli elementi strutturali

Secondo quanto riportato in normativa DM 14-01-2008, la verifica di stabilità globale dell'insieme terreno-opera deve essere effettuata secondo l'Approccio 1:

- Combinazione 2: (A2+M2+R2)

Le rimanenti verifiche devono essere effettuate secondo almeno uno dei seguenti approcci:

Approccio 1:

- Combinazione 1: (A1+M1+R1)
- Combinazione 2: (A2+M2+R2)

Approccio 2:

$$(A1+M1+R3)$$

Lo stato limite di ribaltamento non prevede la mobilitazione della resistenza del terreno di fondazione e deve essere trattato come uno stato limite di equilibrio come corpo rigido (EQU), utilizzando i coefficienti parziali sulle azioni riportati in Tabella 7 e adoperando i coefficienti parziali del gruppo M per il calcolo delle spinte.

I coefficienti per le azioni A, per i parametri geotecnici M e per le resistenze R sono riassunti nelle seguenti tabelle.

Tabella 7 – Coefficienti parziali per le azioni SLU

| Carichi tipo | Effetto | Coefficiente parziale | EQU | A1 (STR) | A2 (GEO) |
|----------------------------|-------------|-----------------------|-----|----------|----------|
| Permanenti | Favorevole | γ_{G1} | 0.9 | 1.0 | 1.0 |
| | Sfavorevole | | 1.1 | 1.3 | 1.0 |
| Permanenti non strutturali | Favorevole | γ_{G2} | 0.0 | 0.0 | 0.0 |
| | Sfavorevole | | 1.5 | 1.5 | 1.3 |
| Variabili | Favorevole | γ_Q | 0.0 | 0.0 | 0.0 |

2.1.3 PEDEMONTANA DELLE MARCHE

3° stralcio funzionale: Castelraimondo nord – Castelraimondo sud

4° stralcio funzionale: Castelraimondo sud – innesto S.S. 77 a Muccia

Opere d'arte minori: Opere di sostegno e dreni

Muro in terra rinforzata in SX dal km 6+690 al km 6+730 - Relazione tecnica e di calcolo

| | | | | | | | | |
|---------------|---------------|--------------|-----------|---------------|---------------|---------------|-----------|-------------------------|
| Opera L073 | Tratto 213 | Settore E | CEE 16 | WBS MU0037 | Id.doc REL | N.prog. 01 | Rev. D | Pag.di Pag. 16 di 23 |
|---------------|---------------|--------------|-----------|---------------|---------------|---------------|-----------|-------------------------|

| | | | | | |
|--|-------------|--|-----|-----|-----|
| | Sfavorevole | | 1.5 | 1.5 | 1.3 |
|--|-------------|--|-----|-----|-----|

Tabella 8 – Coefficienti parziali per i parametri geotecnici del terreno SLU

| Carichi tipo | Coefficiente parziale | M1 | M2 |
|--------------------------------------|-----------------------|-----|------|
| Tangente angolo resistenza al taglio | $\tan \varphi'_k$ | 1.0 | 1.25 |
| Coesione efficace | c'_k | 1.0 | 1.25 |
| Resistenza non drenata | c_{uk} | 1.0 | 1.4 |
| Peso unità di volume | γ | 1.0 | 1.0 |

Tabella 9 – Coefficienti parziali resistenza R2 verifiche di opere in materiali sciolti e fronti di scavo

| Verifica | R2 |
|-------------------|------------------|
| Stabilità globale | $\gamma_R = 1.1$ |

Tabella 10 – Coefficienti parziali resistenza γ_R per le STR e GEO di muri di sostegno

| Verifica | R1 | R2 | R3 |
|------------------------------|------------------|------------------|------------------|
| Capacità portante fondazione | $\gamma_R = 1.0$ | $\gamma_R = 1.0$ | $\gamma_R = 1.4$ |
| Scorrimento | $\gamma_R = 1.0$ | $\gamma_R = 1.0$ | $\gamma_R = 1.1$ |
| Resistenza terreno valle | $\gamma_R = 1.0$ | $\gamma_R = 1.0$ | $\gamma_R = 1.4$ |

In presenza di azioni sismiche, lo stato limite ultimo considerato comprende lo Stato Limite di Salvaguardia della Vita (SLV).

I coefficienti parziali sulle azioni ed i parametri geotecnici sono posti pari all'unità mentre i coefficienti parziali relativi alle resistenze risultano invariati rispetto a quelli considerati per le verifiche in condizioni statiche.

2.1.3 PEDEMONTANA DELLE MARCHE

3° stralcio funzionale: Castelraimondo nord – Castelraimondo sud

4° stralcio funzionale: Castelraimondo sud – innesto S.S. 77 a Muccia

Opere d'arte minori: Opere di sostegno e dreni

Muro in terra rinforzata in SX dal km 6+690 al km 6+730 - Relazione tecnica e di calcolo

| | | | | | | | | |
|---------------|---------------|--------------|-----------|---------------|---------------|---------------|-----------|------------------------|
| Opera L073 | Tratto 213 | Settore E | CEE 16 | WBS MU0037 | Id.doc REL | N.prog. 01 | Rev. D | Pag.diPag. 17 di 23 |
|---------------|---------------|--------------|-----------|---------------|---------------|---------------|-----------|------------------------|

9. ANALISI DEI CARICHI

9.1 CARICHI PERMANENTI

Per carichi permanenti si intendono le azioni associate ai pesi propri del muro, del terrapieno spingente e dell'acqua di falda, valutati in automatico dal Software di calcolo utilizzato.

9.2 SOVRACCARICHI ACCIDENTALI

Lo schema di carico da traffico veicolare considerato nelle analisi è un carico uniformemente distribuito di valore pari a 30 kPa.

9.3 AZIONE SISMICA

Per la valutazione degli effetti dell'azione sismica sulle masse e sui coefficienti di spinta del terreno, si è fatto riferimento al metodo pseudo-statico previsto al punto 7.11.3.5.2 - "Metodi di Analisi" - delle NTC2008 secondo il quale, nelle verifiche allo stato limite ultimo, i valori dei coefficienti sismici orizzontale k_h e verticale k_v possono essere valutati mediante le seguenti espressioni:

$$k_h = \beta_{s,m} \cdot \frac{a_{max}}{g}$$

$$k_v = \pm 0.5 \cdot k_h$$

dove

a_{max} = accelerazione orizzontale massima attesa al sito

g = accelerazione di gravità.

In assenza di analisi specifiche della risposta sismica locale, l'accelerazione massima può essere valutata con la relazione:

$$a_{max} = S \cdot a_g = S_s \cdot S_t \cdot a_g$$

dove

S = coefficiente che comprende l'effetto dell'amplificazione stratigrafica (S_s) e dell'amplificazione topografica (S_t).

a_g = accelerazione orizzontale massima attesa su sito di riferimento rigido.

Di seguito sono riportati i valori di β_s e β_m considerati per i fronti di scavo (utilizzati nelle analisi di stabilità globale), e per i muri di sostegno, in accordo con quanto indicato nella NTC2008.

2.1.3 PEDEMONTANA DELLE MARCHE

3° stralcio funzionale: Castelraimondo nord – Castelraimondo sud

4° stralcio funzionale: Castelraimondo sud – innesto S.S. 77 a Muccia

Opere d'arte minori: Opere di sostegno e dreni

Muro in terra rinforzata in SX dal km 6+690 al km 6+730 - Relazione tecnica e di calcolo

| | | | | | | | | |
|---------------|---------------|--------------|-----------|---------------|---------------|---------------|-----------|-------------------------|
| Opera L073 | Tratto 213 | Settore E | CEE 16 | WBS MU0037 | Id.doc REL | N.prog. 01 | Rev. D | Pag.di Pag. 18 di 23 |
|---------------|---------------|--------------|-----------|---------------|---------------|---------------|-----------|-------------------------|

Tabella 11 – Coefficienti dell'accelerazione massima attesa al sito – Fronti di scavo e rilevati

| | Categoria di sottosuolo | |
|-------------------------|-------------------------|------------|
| | A | B, C, D, E |
| | β_s | β_s |
| $0.2 < a_g(g) \leq 0.4$ | 0.3 | 0.28 |
| $0.1 < a_g(g) \leq 0.2$ | 0.27 | 0.24 |
| $a_g(g) \leq 0.1$ | 0.2 | 0.2 |

Tabella 12 – Coefficienti dell'accelerazione massima attesa al sito – Muri di sostegno

| | Categoria di sottosuolo | |
|-------------------------|-------------------------|------------|
| | A | B, C, D, E |
| | β_m | β_m |
| $0.2 < a_g(g) \leq 0.4$ | 0.31 | 0.31 |
| $0.1 < a_g(g) \leq 0.2$ | 0.29 | 0.24 |
| $a_g(g) \leq 0.1$ | 0.20 | 0.18 |

I parametri di progetto dell'azione sismica considerati nell'analisi dell'opera oggetto della presente relazione sono riassunti nella tabella seguente.

Tabella 13 – Parametri progetto azione sismica equivalente – Fronti di scavo e rilevati

| Ss | S _T | a _g | a _{max} | k _h | k _v |
|-------|----------------|----------------|------------------|----------------|----------------|
| 1.365 | 1.0 | 0.22 | 0.30 | 0.084 | 0.042 |

Tabella 14– Parametri progetto azione sismica equivalente – Muri di sostegno

| Ss | S _T | a _g | a _{max} | k _h | k _v |
|-------|----------------|----------------|------------------|----------------|----------------|
| 1.365 | 1.0 | 0.22 | 0.30 | 0.093 | 0.047 |

2.1.3 PEDEMONTANA DELLE MARCHE

3° stralcio funzionale: Castelraimondo nord – Castelraimondo sud

4° stralcio funzionale: Castelraimondo sud – innesto S.S. 77 a Muccia

Opere d'arte minori: Opere di sostegno e dreni

Muro in terra rinforzata in SX dal km 6+690 al km 6+730 - Relazione tecnica e di calcolo

| | | | | | | | | |
|---------------|---------------|--------------|-----------|---------------|---------------|---------------|-----------|-------------------------|
| Opera L073 | Tratto 213 | Settore E | CEE 16 | WBS MU0037 | Id.doc REL | N.prog. 01 | Rev. D | Pag.di Pag. 19 di 23 |
|---------------|---------------|--------------|-----------|---------------|---------------|---------------|-----------|-------------------------|

10. ANALISI E VERIFICHE

Si riportano di seguito i risultati delle analisi e verifiche per la sezione di calcolo considerata.

10.1 SEZIONE DI CALCOLO

È stata esaminata una sezione, rappresentativa di geometria e condizioni stratigrafiche che si incontrano in corrispondenza dell'ubicazione prevista per l'opera in esame.

| ID muro | Altezza muro [m] | Lato stradale | pk |
|---------|------------------|---------------|-------|
| MU0037 | 3.60 | SX | 6+700 |

I tabulati di calcolo relativi alle analisi svolte sono riportati nell'Allegato A.

10.2 RISULTATI DELLE ANALISI: SEZIONE TERRA RINFORZATA

10.2.1 Stabilità locale

Si riportano di seguito i risultati delle analisi di stabilità dell'opera di sostegno descritte al paragrafo 7.

Per ulteriori dettagli si rimanda all'Allegato A "Report di calcolo e verifiche geotecniche".

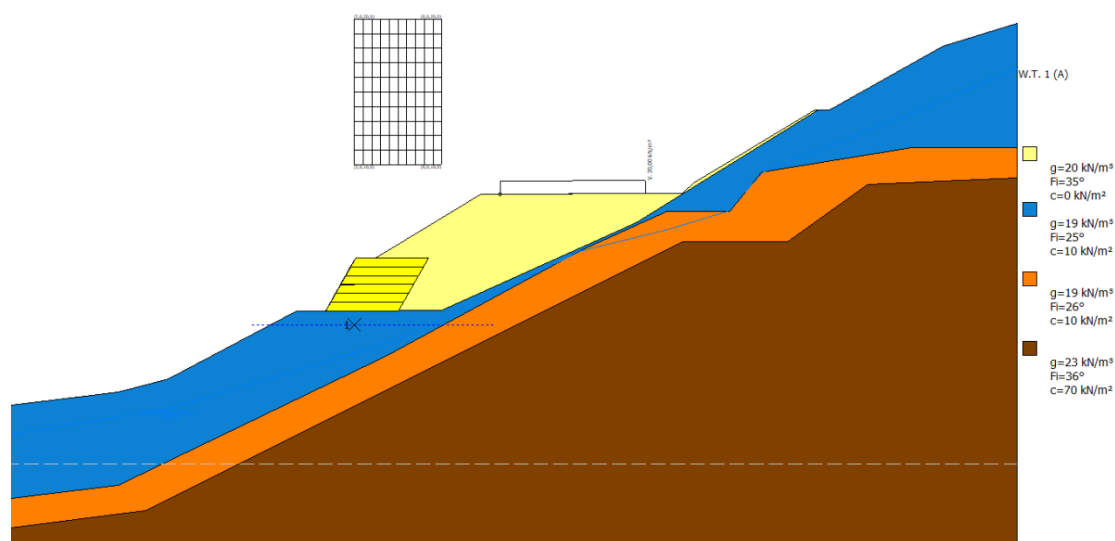


Figura 4- Modello di calcolo

2.1.3 PEDEMONTANA DELLE MARCHE

3° stralcio funzionale: Castelraimondo nord – Castelraimondo sud

4° stralcio funzionale: Castelraimondo sud – innesto S.S. 77 a Muccia

Opere d'arte minori: Opere di sostegno e dreni

Muro in terra rinforzata in SX dal km 6+690 al km 6+730 - Relazione tecnica e di calcolo

| | | | | | | | | |
|---------------|---------------|--------------|-----------|---------------|---------------|---------------|-----------|-------------------------|
| Opera L073 | Tratto 213 | Settore E | CEE 16 | WBS MU0037 | Id.doc REL | N.prog. 01 | Rev. D | Pag.di Pag. 20 di 23 |
|---------------|---------------|--------------|-----------|---------------|---------------|---------------|-----------|-------------------------|



Figure 5 shows four panels of global safety coefficients for different combinations:

- Combinazione 1 (A1+M1):** Coef. sicurezza ribaltamento: 8,35; Coef. sicurezza scorrimento: 1,73; Coef. sicurezza carico limite: 6,22.
- Combinazione 2 (A2+M2):** Coef. sicurezza ribaltamento: 8,89; Coef. sicurezza scorrimento: 1,65; Coef. sicurezza carico limite: 4,93.
- Combinazione 3 (EQU+M2):** Coef. sicurezza ribaltamento: 7,34; Coef. sicurezza scorrimento: 1,36; Coef. sicurezza carico limite: 5,35.
- Combinazione 4 (Sisma):** Coef. sicurezza ribaltamento: 6,8; Coef. sicurezza scorrimento: 1,47; Coef. sicurezza carico limite: 6,28.

Figura 5 - Verifiche di stabilità

10.2.2 Verifiche strutturali geogriglie

Nella seguente tabella si sintetizzano i risultati ottenuti dalle verifiche strutturali delle geogriglie considerate per la realizzazione delle opere in terra rinforzata, le quali presentano una lunghezza complessiva pari a 5m.

Per ulteriori dettagli si rimanda all'Allegato A "Report di calcolo verifiche geotecniche".

Tabella 15 - Risultati verifiche geogriglie

| Nr | FS Sfilamento | FS Rottura | Spinta sul rinforzo (kN) | Res. a sfilamento (kN/m) | Res. ultima materiale (kN) |
|----|---------------|------------|--------------------------|--------------------------|----------------------------|
| 1 | 31.13 | 1.94 | 14.94 | 92.98 | 28.99 |
| 2 | 34.00 | 2.31 | 12.56 | 85.43 | 28.99 |
| 3 | 38.75 | 2.87 | 10.11 | 78.38 | 28.99 |
| 4 | 47.51 | 3.83 | 7.58 | 71.99 | 28.99 |
| 5 | 67.23 | 5.86 | 4.95 | 66.50 | 28.99 |
| 6 | 139.27 | 12.97 | 2.23 | 62.25 | 28.99 |

10.2.3 Stabilità globale

Si riportano di seguito i risultati delle verifiche di stabilità globale per il muro in terra rinforzata in condizioni statiche e sismiche.

Dalle analisi eseguite è stato ottenuto un coefficiente di sicurezza FS, relativo alla superficie di scorrimento più critica, superiore al valore del coefficiente parziale di resistenza che riduce la resistenza disponibile del terreno, γ_R , pari a 1.1, pertanto, secondo quanto prescritto dalla normativa considerata, le verifiche di sicurezza risultano essere soddisfatte.

2.1.3 PEDEMONTANA DELLE MARCHE

3° stralcio funzionale: Castelraimondo nord – Castelraimondo sud

4° stralcio funzionale: Castelraimondo sud – innesto S.S. 77 a Muccia

Opere d'arte minori: Opere di sostegno e dreni

Muro in terra rinforzata in SX dal km 6+690 al km 6+730 - Relazione tecnica e di calcolo

| | | | | | | | | |
|-------|--------|---------|-----|--------|--------|---------|------|-------------|
| Opera | Tratto | Settore | CEE | WBS | Id.doc | N.prog. | Rev. | Pag.di Pag. |
| L073 | 213 | E | 16 | MU0037 | REL | 01 | D | 21 di 23 |

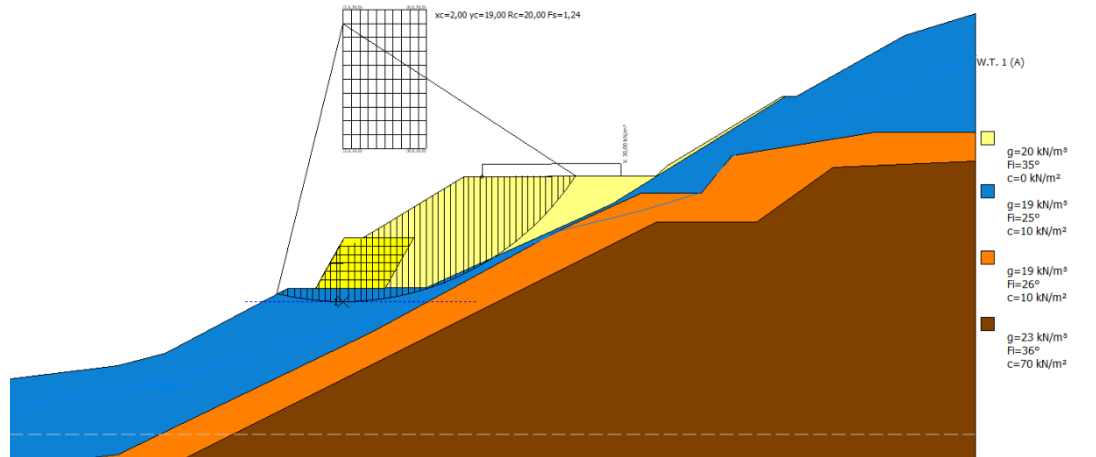


Figura 6 - Risultati analisi di stabilità globale – Condizioni statiche

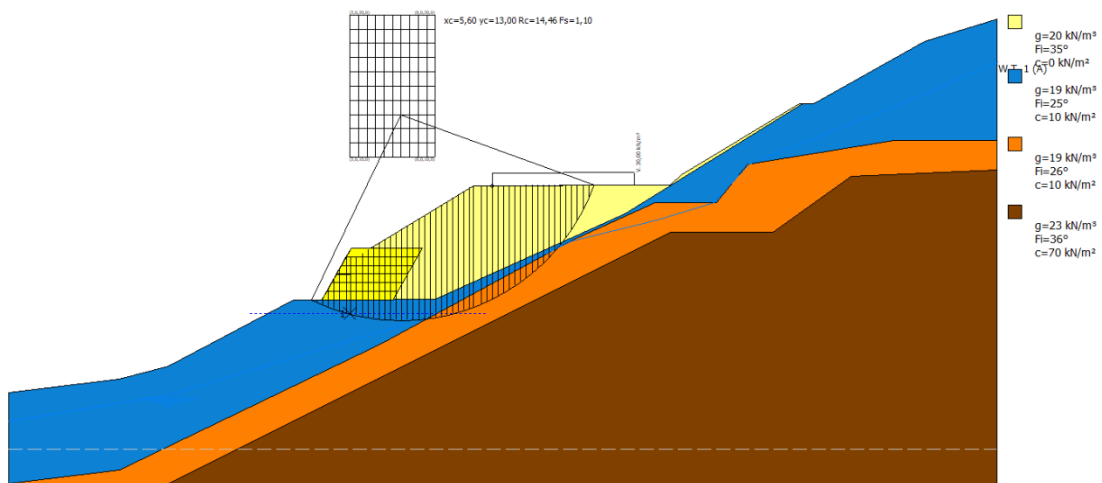


Figura 7 - Risultati analisi di stabilità globale – Condizioni sismiche

Tabella 16 – Fattori di sicurezza stabilità globale

| Sez. di calcolo | F.S. Statico | F.S. Sismica |
|-----------------|--------------|--------------|
| 6+700 | 1.24 | 1.10 |



2.1.3 PEDEMONTANA DELLE MARCHE

3° stralcio funzionale: Castelraimondo nord – Castelraimondo sud

4° stralcio funzionale: Castelraimondo sud – innesto S.S. 77 a Muccia

Opere d'arte minori: Opere di sostegno e dreni

Muro in terra rinforzata in SX dal km 6+690 al km 6+730 - Relazione tecnica e di calcolo

| | | | | | | | | |
|---------------|---------------|--------------|-----------|---------------|---------------|---------------|-----------|-------------------------|
| Opera L073 | Tratto 213 | Settore E | CEE 16 | WBS MU0037 | Id.doc REL | N.prog. 01 | Rev. D | Pag.di Pag. 22 di 23 |
|---------------|---------------|--------------|-----------|---------------|---------------|---------------|-----------|-------------------------|

11. CONCLUSIONI

La presente relazione tecnica e di calcolo riassume i criteri di dimensionamento, le analisi e le verifiche condotte sulle opere di stabilità per il rilevato stradale dal km 6+690 al km 6+720 dei Lotti 3 e 4 dell'opera Pedemontana delle Marche.

Le verifiche geotecniche e strutturali risultano soddisfatte per gli stati limite considerati secondo la normativa di riferimento.



2.1.3 PEDEMONTANA DELLE MARCHE

3° stralcio funzionale: Castelraimondo nord – Castelraimondo sud

4° stralcio funzionale: Castelraimondo sud – innesto S.S. 77 a Muccia

Opere d'arte minori: Opere di sostegno e dreni

Muro in terra rinforzata in SX dal km 6+690 al km 6+730 - Relazione tecnica e di calcolo

| | | | | | | | | |
|---------------|---------------|--------------|-----------|---------------|---------------|---------------|-----------|-------------------------|
| Opera L073 | Tratto 213 | Settore E | CEE 16 | WBS MU0037 | Id.doc REL | N.prog. 01 | Rev. D | Pag.di Pag. 23 di 23 |
|---------------|---------------|--------------|-----------|---------------|---------------|---------------|-----------|-------------------------|

ALLEGATO A

REPORT DI CALCOLO VERIFICHE GEOTECNICHE

RELAZIONE DI CALCOLO

MU27 – Verifiche terre rinforzate

Calcolo della spinta attiva con Coulomb

Il calcolo della spinta attiva con il metodo di *Coulomb* è basato sullo studio dell'equilibrio limite globale del sistema formato dal muro e dal prisma di terreno omogeneo retrostante l'opera e coinvolto nella rottura nell'ipotesi di parete ruvida.

Per terreno omogeneo ed asciutto il diagramma delle pressioni si presenta lineare con distribuzione:

$$P_t = K_a \cdot \gamma_t \cdot z$$

La spinta S_t è applicata ad $1/3 H$ di valore

$$S_t = \frac{1}{2} \cdot \gamma_t \cdot H^2 \cdot K_a$$

Avendo indicato con:

$$K_a = \frac{\sin^2(\beta - \phi)}{\sin^2\beta \cdot \sin(\beta + \delta) \cdot \left[1 + \frac{\sin(\delta + \phi) \cdot \sin(\phi - \varepsilon)}{\sin(\beta + \delta) \cdot \sin(\beta - \varepsilon)} \right]^2}$$

Valori limite di K_A , $\delta < (\beta - \phi - \varepsilon)$ secondo Muller-Breslau:

| | |
|---------------|--|
| γ_t | Peso unità di volume del terreno; |
| β | Inclinazione della parete interna rispetto al piano orizzontale passante per il piede; |
| ϕ | Angolo di resistenza al taglio del terreno; |
| δ | Angolo di attrito terra-muro; |
| ε | Inclinazione del piano campagna rispetto al piano orizzontale, positiva se antioraria; |
| H | Altezza della parete. |

Calcolo della spinta attiva con Rankine

Se $\varepsilon = \delta = 0$ e $\beta = 90^\circ$ (muro con parete verticale liscia e terrapieno con superficie orizzontale) la spinta S_t si semplifica nella forma:

$$S_t = \frac{\gamma \cdot H^2}{2} \frac{(1 - \sin \phi)}{(1 + \sin \phi)} = \frac{\gamma \cdot H^2}{2} \tan^2 \left(45 - \frac{\phi}{2} \right)$$

che coincide con l'equazione di Rankine per il calcolo della spinta attiva del terreno con terrapieno orizzontale.

In effetti Rankine adottò essenzialmente le stesse ipotesi fatte da Coulomb, ad eccezione del fatto che trascurò l'attrito terra-muro e la presenza di coesione. Nella sua formulazione generale l'espressione di K_a di Rankine si presenta come segue:

$$K_a = \cos \varepsilon \frac{\cos \varepsilon - \sqrt{\cos^2 \varepsilon - \cos^2 \phi}}{\cos \varepsilon + \sqrt{\cos^2 \varepsilon - \cos^2 \phi}}$$

Calcolo della spinta attiva con Mononobe & Okabe

Il calcolo della spinta attiva con il metodo di *Mononobe & Okabe* riguarda la valutazione della spinta in condizioni sismiche con il metodo pseudo-statico. Esso è basato sullo studio dell'equilibrio limite globale del sistema formato dal muro e dal prisma di terreno omogeneo retrostante l'opera e coinvolto nella rottura in una configurazione fittizia

di calcolo nella quale l'angolo ε , di inclinazione del piano campagna rispetto al piano orizzontale, e l'angolo β , di inclinazione della parete interna rispetto al piano orizzontale passante per il piede, vengono aumentati di una quantità θ tale che:

$$\operatorname{tg} \theta = k_h / (1 \pm k_v)$$

con k_h coefficiente sismico orizzontale e k_v verticale.

Calcolo coefficienti sismici (NTC 2008)

Secondo le Nuove Norme Tecniche per le Costruzioni (NTC 2008) i coefficienti sismici k_h e k_v sono calcolati come:

$$k_h = \beta_m \cdot (a_{\max} / g) \quad \cdot k_v = \pm 0.5 \cdot k_h$$

β_m coefficiente di riduzione dell'accelerazione massima attesa al sito; per i muri che non siano in grado di subire spostamenti relativi rispetto al terreno il coefficiente β_m assume valore unitario. Per i muri liberi di traslare o ruotare intorno al piede, si può assumere che l'incremento di spinta dovuto al sisma agisca nello stesso punto di quella statica. Negli altri casi, in assenza di studi specifici, si assume che tale incremento sia applicato a metà altezza del muro.

a_{\max} accelerazione orizzontale massima attesa al sito;

g accelerazione di gravità.

Tutti i fattori presenti nelle precedenti formule dipendono dall'accelerazione massima attesa sul sito di riferimento rigido e dalle caratteristiche geomorfologiche del territorio.

$$a_{\max} = S \cdot a_g = S_s \cdot S_T \cdot a_g$$

S coefficiente comprendente l'effetto di amplificazione stratigrafica S_s e di amplificazione topografica S_T .

a_g accelerazione orizzontale massima attesa su sito di riferimento rigido.

Questi valori sono calcolati come funzione del punto in cui si trova il sito oggetto di analisi. Il parametro di entrata per il calcolo è il tempo di ritorno dell'evento sismico che è valutato come segue:

$$T_R = -V_R / \ln(1 - PVR)$$

Con V_R vita di riferimento della costruzione e PVR probabilità di superamento, nella vita di riferimento, associata allo stato limite considerato. La vita di riferimento dipende dalla vita nominale della costruzione e dalla classe d'uso della costruzione (in linea con quanto previsto al punto 2.4.3 delle NTC). In ogni caso V_R dovrà essere maggiore o uguale a 35 anni.

Effetto dovuto alla coesione

La coesione induce delle pressioni negative costanti pari a:

$$P_c = -2 \cdot c \cdot \sqrt{K_a}$$

Non essendo possibile stabilire a priori quale sia il decremento indotto nella spinta per effetto della coesione, è stata calcolata un'altezza critica Z_C come segue:

$$Z_c = \frac{2 \cdot c}{\gamma} \cdot \frac{1}{\sqrt{K_A}} - \frac{Q \cdot \frac{\sin \beta}{\sin(\beta + \varepsilon)}}{\gamma}$$

Dove:

Q Carico agente sul terrapieno;

Se $Z_c < 0$ è possibile sovrapporre direttamente gli effetti, con decremento pari a:

$$S_c = P_C \cdot H$$

con punto di applicazione pari a $H/2$.

Carico uniforme sul terrapieno

Un carico Q , uniformemente distribuito sul piano campagna induce delle pressioni costanti pari a:

$$P_q = K_a \cdot Q \cdot \frac{\sin \beta}{\sin(\beta + \varepsilon)}$$

Per integrazione, una spinta pari a S_q :

$$S_q = K_a \cdot Q \cdot H \frac{\sin \beta}{\sin(\beta + \varepsilon)}$$

Con punto di applicazione ad $H/2$, avendo indicato con K_a il coefficiente di spinta attiva secondo *Muller-Breslau*.

Spinta attiva in condizioni sismiche

In presenza di sisma la forza di calcolo esercitata dal terrapieno sul muro è data da:

Dove:

H altezza muro
 k_v coefficiente sismico verticale
 γ peso per unità di volume del terreno
 K coefficienti di spinta attiva totale (statico + dinamico)
 E_{ws} spinta idrostatica dell'acqua
 E_{wd} spinta idrodinamica.

Per terreni impermeabili la spinta idrodinamica $E_{wd} = 0$, ma viene effettuata una correzione sulla valutazione dell'angolo θ della formula di Mononobe & Okabe così come di seguito:

$$\operatorname{tg} \theta = \frac{\gamma_{\text{sat}}}{\gamma_{\text{sat}} - \gamma_w} \frac{k_h}{1 \mp k_v}$$

Nei terreni ad elevata permeabilità in condizioni dinamiche continua a valere la correzione di cui sopra, ma la spinta idrodinamica assume la seguente espressione:

$$E_{wd} = \frac{7}{12} k_h \gamma_w H^2$$

Con H altezza del livello di falda misurato a partire dalla base del muro.

Spinta idrostatica

La falda con superficie distante H_w dalla base del muro induce delle pressioni idrostatiche normali alla parete che, alla profondità z , sono espresse come segue:

$$P_w(z) = \gamma_w \cdot z$$

Con risultante pari a:

$$S_w = \frac{1}{2} \cdot \gamma_w \cdot H^2$$

La spinta del terreno immerso si ottiene sostituendo γ_t con γ'_t ($\gamma'_t = \gamma_{\text{saturo}} - \gamma_w$), peso efficace del materiale immerso in acqua.

Resistenza passiva

Per terreno omogeneo il diagramma delle pressioni risulta lineare del tipo:

$$P_t = K_p \cdot \gamma_t \cdot z$$

per integrazione si ottiene la spinta passiva:

$$S_p = \frac{1}{2} \cdot \gamma_t \cdot H^2 \cdot K_p$$

Avendo indicato con:

$$K_p = \frac{\text{sen}^2(\phi + \beta)}{\text{sen}^2\beta \cdot \text{sen}(\beta - \delta) \cdot \left[1 - \sqrt{\frac{\text{sen}(\delta + \phi) \cdot \text{sen}(\phi + \varepsilon)}{\text{sen}(\beta - \delta) \cdot \text{sen}(\beta - \varepsilon)}} \right]^2}$$

(Muller-Breslau) con valori limiti di δ pari a:

$$\delta < \beta - \phi - \varepsilon$$

L'espressione di K_p secondo la formulazione di Rankine assume la seguente forma:

$$K_p = \frac{\cos \varepsilon + \sqrt{\cos^2 \varepsilon - \cos^2 \phi}}{\cos \varepsilon - \sqrt{\cos^2 \varepsilon - \cos^2 \phi}}$$

Carico limite

Una delle prime famiglie di formule per il calcolo della capacità portate fu proposta da Terzaghi nel 1943.

$$q_{\text{ult}} = c \cdot N_c \cdot s_c + \gamma \cdot D \cdot N_q + 0.5 \cdot \gamma \cdot B \cdot N_\gamma \cdot s_\gamma \cdot i_\gamma$$

dove

$$N_q = \frac{a^2}{2 \cdot \cos^2(45 + \varphi/2)}$$

$$a = e^{(0.75\pi - \varphi/2) \tan \varphi}$$

$$N_c = (N_q - 1) \cot \varphi$$

$$N_\gamma = \frac{\tan \varphi}{2} \cdot \left(\frac{K_{p\gamma}}{\cos^2 \varphi} - 1 \right)$$

dove $s_c=1$ e $s_\gamma=1$. per fondazioni nastriformi.

Brinch Hansen – Vesic – (1970)

Affinché la fondazione di un muro possa resistere il carico di progetto con sicurezza nei riguardi della rottura generale deve essere soddisfatta la seguente disuguaglianza:

$$V_d \leq R_d$$

Dove V_d è il carico di progetto, normale alla base della fondazione, comprendente anche il peso del muro; mentre R_d è il carico limite di progetto della fondazione nei confronti di carichi normali, tenendo conto anche dell'effetto di carichi inclinati o eccentrici. Nella valutazione analitica del carico limite di progetto R_d si devono considerare le situazioni a breve e a lungo termine nei terreni a grana fine. Il carico limite di progetto in condizioni non drenate si calcola come:

$$R / A' = (2 + \pi) \cdot c_u \cdot s_c \cdot i_c + q$$

Dove:

$A' = B' L'$ area della fondazione efficace di progetto, intesa, in caso di carico eccentrico, come l'area ridotta al cui centro viene applicata la risultante del carico.

c_u coesione non drenata

q pressione litostatica totale sul piano di posa

s_c fattore di forma

$$s_c = 0,2 \cdot (B'/L') \quad \text{per fondazioni rettangolari}$$

i_c Fattore correttivo per l'inclinazione del carico dovuta ad un carico H.

$$i_c = 0,5 \cdot \left(1 + \sqrt{1 - H/A' \cdot c_u} \right)$$

c_a aderenza alla base, pari alla coesione o ad una sua frazione.

Per le condizioni drenate il carico limite di progetto è calcolato come segue.

$$R / A' = c' \cdot N_c \cdot s_c \cdot i_c + q' \cdot N_q \cdot s_q \cdot i_q + 0,5 \cdot \gamma' \cdot B' \cdot N_\gamma \cdot s_\gamma \cdot i_\gamma$$

dove:

$$N_q = e^{\pi \tan \phi'} \cdot \tan^2(45 + \phi'/2)$$

$$N_c = (N_q - 1) \cdot \cot \phi'$$

$$N_\gamma = 2 \cdot (N_q - 1) \cdot \tan \phi'$$

Fattori di forma

$$s_q = 1 + (B'/L') \cdot \sin \phi' \quad \text{per forma rettangolare}$$

$$s_\gamma = 1 - 0.3 \cdot (B'/L') \quad \text{per forma rettangolare}$$

$$s_c = (s_q \cdot N_q - 1) / (N_q - 1) \quad \text{per forma rettangolare, quadrata o circolare.}$$

Fattori inclinazione risultante dovuta ad un carico orizzontale H parallelo a B'

$$i_q = [1 - H / (V + A' \cdot c' \cdot \cot \phi')]^m$$

$$i_\gamma = [1 - H / (V + A' \cdot c' \cdot \cot \phi')]^{m+1}$$

$$i_c = (i_q \cdot N_q - 1) / (N_q - 1)$$

$$m = m_B = \frac{\left[2 + \left(\frac{B'}{L'} \right) \right]}{\left[1 + \left(\frac{B'}{L'} \right) \right]} \quad \text{con } H//B'$$

$$m = m_L = \frac{\left[2 + \left(\frac{L'}{B'} \right) \right]}{\left[1 + \left(\frac{L'}{B'} \right) \right]} \quad \text{con } H//L'$$

Se H forma un angolo θ con la direzione di L', l'esponente "m" viene calcolato con la seguente espressione:

$$m = m_\theta = m_L \cos^2 \theta + m_B \sin^2 \theta$$

Oltre ai fattori correttivi di cui sopra sono considerati quelli complementari della profondità del piano di posa e dell'inclinazione del piano di posa e del piano campagna (Hansen).

Convenzione segni

Forze verticali positive se dirette dall'alto verso il basso;

Forze orizzontali positive se dirette da monte verso valle;

Coppie positive se antiorarie;

Angoli positivi se antiorari.

Terra Rinforzata

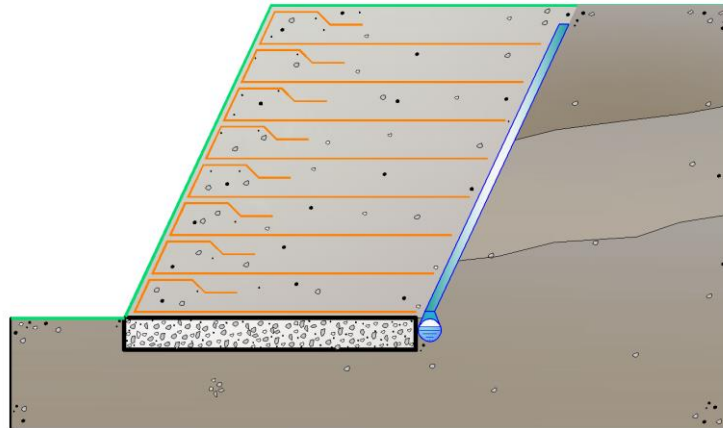
Verifiche Interne

Sono finalizzate ad analizzare i possibili meccanismi di collasso che coinvolgono parzialmente o integralmente la porzione di terreno rinforzato.

Hanno lo scopo di valutare il livello di stabilità dell'ammasso rinforzato, a fronte dell'introduzione di possibili cinematismi di rottura che tendono a pregiudicare la funzionalità e la sicurezza del manufatto.

Le verifiche effettuate comprendono:

- Verifica di resistenza dei rinforzi (Rottura);
- Verifica allo sfilamento (Pullout).



Verifica a rottura

Si valuta l'entità della resistenza mobilitata dal rinforzo per garantire il raggiungimento di una condizione stabile dell'opera.

La sollecitazione instabilizzante è rappresentata dalla spinta a cui è sottoposto il manufatto da parte dei sistemi di carichi applicati (terreno a tergo, eventuale sovraccarico esterno ed azione del sisma).

La resistenza disponibile nel rinforzo si calcola a partire dalla sua resistenza nominale, applicando opportuni fattori di sicurezza:

$$T_{allow} = \frac{T_{nom}}{\prod_{i=1}^n FS_i}$$

E' necessario che per ogni livello z_i , profondità a cui è collocato il rinforzo rispetto alla sommità dell'opera, venga soddisfatta la relazione:

$$\frac{T_{allow}}{T_{z_i}} \geq FS_{rottura}$$

Avendo indicato con T_{z_i} la resistenza richiesta, alla quota z_i , per garantire la stabilità del manufatto.

Verifica a sfilamento

La verifica a rottura, definisce l'entità della resistenza a trazione che il rinforzo deve essere in grado di mobilitare per stabilizzare l'opera.

Il trasferimento della resistenza a trazione dal rinforzo al terreno può avvenire grazie all'interazione che si sviluppa all'interno del rinforzo in corrispondenza del tratto ancorato nella parte stabile del pendio.

In funzione della lunghezza di ancoraggio del telo, infatti, per effetto della spinta generata dalle sollecitazioni a tergo del tratto di terreno rinforzato, si sviluppa internamente al rinforzo, una resistenza che tende, per reazione, ad opporsi al movimento verso l'esterno del sistema composito.

Tale resistenza viene chiamata resistenza allo sfilamento (Pullout).

La resistenza allo sfilamento può essere determinata dalla seguente relazione:

$$T_{pullout} = 2 \cdot (L_e \cdot f_b \cdot \tan \varphi) \cdot \sigma'_v$$

dove:

$T_{pullout}$ Resistenza mobilitata da un rinforzo ancorato per una lunghezza L_e all'interno della parte stabile del terreno;

f_b Coefficiente di Pullout;

σ'_v Tensioni normali applicate sulla parte del rinforzo ancorato nella zona resistente, alla quota z_i ; in tale valore è incluso il contributo del sovraccarico, se presente.

La verifica a sfilamento risulta soddisfatta se:

$$\frac{T_{\text{pullout}}}{T_{z_i}} \geq FS_{\text{rottura}}$$

Dove T_{z_i} è la resistenza richiesta, alla quota z_i , per garantire la stabilità del manufatto.

Forze di trazione nei rinforzi

Si determinano le forze di trazione nei vari rinforzi, date dall'area del diagramma delle pressioni relative a ogni striscia. Per il diagramma triangolare relativo al terrapieno, la forza nella striscia è data dall'area dell'elemento trapezio $ab'd'e$ viene trasformata nella pressione media q_i alla profondità della striscia Z_i mediante la relazione:

$$q_i = \gamma \cdot z_i \cdot K_a$$

La pressione q_i agisce su una area definita dalla spaziatura delle armature $h \times s$ e corrisponde a una forza di trazione nel rinforzo pari a:

$$T_i = q_i \cdot A = \gamma \cdot z_i \cdot K_a \cdot (h \cdot s)$$

Per l'equilibrio la somma delle forze di trazione deve essere pari alla componente orizzontale delle forze agenti.

$$\sum T_i = P_{ah}$$

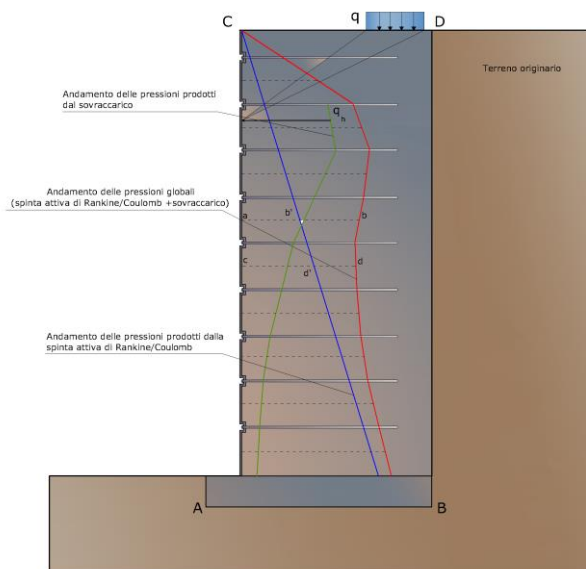


Fig. 2

Calcolo delle lunghezze efficaci L_e

Si calcolano le lunghezze delle strisce L_e che compaiono in Figura 3, necessarie affinché si sviluppi una forza d'attrito $F_r = T_i$. Sulla base di tali lunghezze e delle dimensioni del cuneo di Rankine, si può determinare la lunghezza globale L_o delle strisce da utilizzare. In generale, per tutta l'altezza del muro si usano strisce della stessa lunghezza. La lunghezza di ancoraggio dipende dal coefficiente d'attrito $f = \tan \delta$ tra suolo e rinforzo, essendo δ un'opportuna frazione dell'angolo d'attrito interno del terreno ϕ . Se la striscia è sufficientemente scabra $\delta = \phi$, mentre per metalli lisci δ è compreso orientativamente tra 20° e 25° .

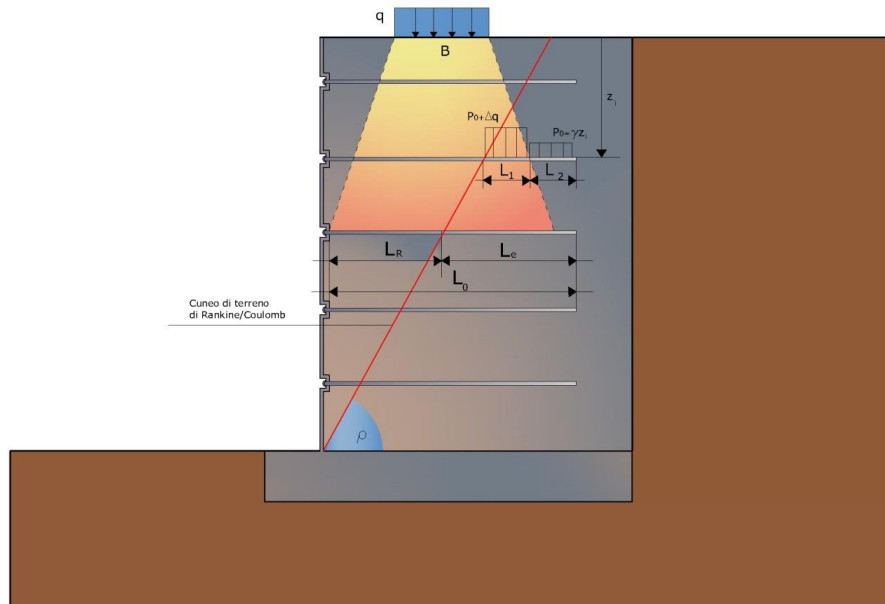


Fig. 3

Per strisce di dimensioni $b \times L_e$ o per fogli di geotessile di larghezza unitaria e lunghezza L_e , entrambe le facce sviluppano attrito; per barre circolari, l'attrito resistente è sviluppato lungo il perimetro. In ogni caso, l'attrito è dato dal prodotto di f per la pressione normale al rinforzo calcolata come $p_0 = \gamma z_i$ dove z_i è la distanza *media* dalla superficie del terreno al rinforzo. Si ha quindi:

Per strisce:

$$F_i = 2 \cdot (\gamma \cdot z_i) \cdot \tan \delta \cdot (b \cdot L_e) \geq T_i$$

Per barre:

$$F_i = \pi \cdot D \cdot (\gamma \cdot z_i) \cdot \tan \delta \cdot (L_e) \geq T_i$$

Per fogli:

$$F_i = 2 \cdot (\gamma \cdot z_i) \cdot \tan \delta \cdot (1 \cdot L_e) \geq T_i$$

Se nelle precedenti formule il segno \geq è sostituito col segno di uguale, il coefficiente di sicurezza FS è pari a 1. Se si assume $FS > 1$, il valore di L_e risulta necessariamente maggiore di quello dato da queste formule.

Si determina quindi la sezione delle armature $b \times t$. Per barre o strisce in metallo avente sforzo ammissibile pari a $f_a = f_y/FS$ si ha:

$$b \cdot t \cdot f_a > T_i \quad \text{oppure} \quad \frac{\pi \cdot D^2}{4} \cdot f_a > T_i$$

Nel caso di geotessili si ha il problema che la resistenza del tessuto varia a seconda del produttore; tra quelli possibili si sceglie un tessuto che:

Larghezza striscia $b \times$ resistenza per unità di larghezza $\geq T_i$

Descrizione

| | |
|---|-------|
| Coefficiente azione sismica orizzontale | 0,093 |
| Coefficiente azione sismica orizzontale | 0,047 |

Geometria

| Nr. | X (m) | Y (m) |
|-----|----------|----------|
| 1 | 0,0 | 0,0 |
| 2 | 2,08 | 3,6 |

| | | |
|---|------|-----|
| 3 | 7,08 | 3,6 |
| 4 | 5,0 | 0,0 |

Terreno rinforzo

| | |
|---------------------------------|------------------------|
| Peso unità di volume | 20,0 kN/m ³ |
| Peso unità di volume saturo | 20,0 kN/m ³ |
| Angolo di resistenza a taglio | 35,0 ° |
| Coesione | 0,0 kN/m ² |
| Angolo attrito terreno rinforzo | 23,3 ° |

Terreno riempimento

| | |
|-------------------------------|------------------------|
| Peso unità di volume | 19,0 kN/m ³ |
| Peso unità di volume saturo | 19,0 kN/m ³ |
| Angolo di resistenza a taglio | 25,0 ° |
| Coesione | 10,0 kN/m ² |
| Angolo di attrito terra muro | 16,0 ° |

Terreno fondazione

| | |
|-------------------------------|------------------------|
| Peso unità di volume | 19,0 kN/m ³ |
| Peso unità di volume saturo | 19,0 kN/m ³ |
| Angolo di resistenza a taglio | 25,0 ° |
| Coesione | 10,0 kN/m ² |

| Nr. | X (m) | y (m) | Tipo | Lunghezza ripiegatura (Lrip) (m) | Lunghezza facciata (Lf) (m) | Lunghezza non efficace (Lr) (m) | Lunghezza efficace (Le) (m) | Lunghezza totale (Lt) (m) | Interasse (m) | Fattore sicurezza a sfilamento | Fattore sicurezza a rottura |
|-----|-------|-------|----------------|----------------------------------|-----------------------------|---------------------------------|-----------------------------|---------------------------|---------------|--------------------------------|-----------------------------|
| 1 | 0,0 | 0,0 | (1) Geogriglie | 1 | 0,6 | 0 | 5 | 5 | -- | 31,39 | 1,78 |
| 2 | 0,35 | 0,6 | (1) Geogriglie | 1 | 0,6 | 0 | 5 | 5 | -- | 34,81 | 2,11 |
| 3 | 0,69 | 1,2 | (1) Geogriglie | 1 | 0,6 | 0 | 5 | 5 | -- | 40,43 | 2,62 |
| 4 | 1,04 | 1,8 | (1) Geogriglie | 1 | 0,6 | 0 | 5 | 5 | -- | 50,83 | 3,49 |
| 5 | 1,39 | 2,4 | (1) Geogriglie | 1 | 0,6 | 0 | 5 | 5 | -- | 74,42 | 5,37 |
| 6 | 1,73 | 3,0 | (1) Geogriglie | 1 | 0,6 | 0 | 5 | 5 | -- | 163 | 12,14 |

Elenco rinforzi

| Tipo | Descrizione | Struttura (mm) | Resistenza |
|------|-------------|----------------|------------|
| 1 | Geogriglie | Geosintetici | 28,99 kN/m |

Descrizione

| Nr. | Confermare con il pulsante destro del mouse | X (m) | Y (m) | Lx (m) | Ly (m) | Q (kN/m ²) |
|-----|---|-------|-------|--------|--------|------------------------|
| 1 | Rilevato | 2,4 | 3,6 | 8 | 1 | 70 |

Combinazione 1 (A1+M1)

| Nr. | Azioni | Fattore combinazione |
|-----|---------------------|----------------------|
| 1 | Peso muro | 1,00 |
| 2 | Spinta terreno | 1,30 |
| 3 | Spinta falda | 1,30 |
| 4 | Spinta sismica in x | 0,00 |
| 5 | Spinta sismica in y | 0,00 |
| 6 | Rilevato | 1,30 |

| Nr. | Parametro | Coefficienti parziali SLU |
|-----|---------------------------------|---------------------------|
| 1 | Tangente angolo res. taglio | 1 |
| 2 | Coesione | 1 |
| 3 | Coesione non drenata | 1 |
| 4 | Peso unità volume | 1 |
| | Angolo attrito terreno rinforzo | |

| Nr. | Parametro | Coefficiente parziale resistenza [R] |
|-----|--------------------|--------------------------------------|
| 2 | Carico limite | 1,4 |
| 3 | Scorrimento | 1,1 |
| 4 | Resistenza terreno | 1 |
| 5 | Ribaltamento | 0 |

Combinazione 2 (A2+M2)

| Nr. | Azioni | Fattore combinazione |
|-----|---------------------|----------------------|
| 1 | Peso muro | 1,00 |
| 2 | Spinta terreno | 1,00 |
| 3 | Spinta falda | 1,00 |
| 4 | Spinta sismica in x | 0,00 |
| 5 | Spinta sismica in y | 0,00 |
| 6 | Rilevato | 1,00 |

| Nr. | Parametro | Coefficienti parziali SLU |
|-----|---------------------------------|---------------------------|
| 1 | Tangente angolo res. taglio | 1,25 |
| 2 | Coesione | 1,25 |
| 3 | Coesione non drenata | 1,4 |
| 4 | Peso unità volume | 1 |
| | Angolo attrito terreno rinforzo | |

| Nr. | Parametro | Coefficiente parziale resistenza [R] |
|-----|--------------------|--------------------------------------|
| 2 | Carico limite | 1 |
| 3 | Scorrimento | 1 |
| 4 | Resistenza terreno | 1 |
| 5 | Ribaltamento | 0 |

Combinazione 3 (EQU+M2)

| Nr. | Azioni | Fattore combinazione |
|-----|---------------------|----------------------|
| 1 | Peso muro | 0,90 |
| 2 | Spinta terreno | 1,10 |
| 3 | Spinta falda | 1,10 |
| 4 | Spinta sismica in x | 0,00 |
| 5 | Spinta sismica in y | 0,00 |

| | | |
|---|----------|------|
| 6 | Rilevato | 1,10 |
|---|----------|------|

| Nr. | Parametro | Coefficienti parziali SLU |
|-----|---------------------------------|---------------------------|
| 1 | Tangente angolo res. taglio | 1,25 |
| 2 | Coesione | 1,25 |
| 3 | Coesione non drenata | 1,4 |
| 4 | Peso unità volume | 1 |
| | Angolo attrito terreno rinforzo | |

| Nr. | Parametro | Coefficiente parziale resistenza [R] |
|-----|--------------------|--------------------------------------|
| 2 | Carico limite | 1 |
| 3 | Scorrimento | 1 |
| 4 | Resistenza terreno | 1 |
| 5 | Ribaltamento | 0 |

Combinazione 4 (Sisma)

| Nr. | Azioni | Fattore combinazione |
|-----|---------------------|----------------------|
| 1 | Peso muro | 1,00 |
| 2 | Spinta terreno | 1,00 |
| 3 | Spinta falda | 1,00 |
| 4 | Spinta sismica in x | 1,00 |
| 5 | Spinta sismica in y | 1,00 |
| 6 | Rilevato | 1,00 |

| Nr. | Parametro | Coefficienti parziali SLU |
|-----|---------------------------------|---------------------------|
| 1 | Tangente angolo res. taglio | 1 |
| 2 | Coesione | 1 |
| 3 | Coesione non drenata | 1 |
| 4 | Peso unità volume | 1 |
| | Angolo attrito terreno rinforzo | |

| Nr. | Parametro | Coefficiente parziale resistenza [R] |
|-----|--------------------|--------------------------------------|
| 2 | Carico limite | 1,4 |
| 3 | Scorrimento | 1,1 |
| 4 | Resistenza terreno | 1 |
| 5 | Ribaltamento | 0 |

Combinazione 1 (A1+M1)

| Nr. | X (m) | y (m) | Tipo | Lunghezza ripiegatura (Lrip) (m) | Lunghezza facciata (Lf) (m) | Lunghezza non efficace (Lr) (m) | Lunghezza efficace (Le) (m) | Lunghezza totale (Lt) (m) | Interasse (m) | Fattore sicurezza a sfilamento | Fattore sicurezza a rottura |
|-----|-------|-------|-------------------|----------------------------------|-----------------------------|---------------------------------|-----------------------------|---------------------------|---------------|--------------------------------|-----------------------------|
| 1 | 0,0 | 0,0 | (1) Geogriglie | 1 | 0,6 | 0 | 5 | 5 | -- | 31,39 | 1,78 |
| 2 | 0,35 | 0,6 | (1) Geogriglie | 1 | 0,6 | 0 | 5 | 5 | -- | 34,81 | 2,11 |
| 3 | 0,69 | 1,2 | (1) Geogriglie | 1 | 0,6 | 0 | 5 | 5 | -- | 40,43 | 2,62 |
| 4 | 1,04 | 1,8 | (1) Geogriglie | 1 | 0,6 | 0 | 5 | 5 | -- | 50,83 | 3,49 |
| 5 | 1,39 | 2,4 | (1) | 1 | 0,6 | 0 | 5 | 5 | -- | 74,42 | 5,37 |

| | | | | | | | | | | | |
|---|------|-----|----------------------|---|-----|---|---|---|----|-----|-------|
| | | | Geogri lie | | | | | | | | |
| 6 | 1,73 | 3,0 | (1) Geogri lie | 1 | 0,6 | 0 | 5 | 5 | -- | 163 | 12,14 |

VERIFICHE GLOBALI [Condizione drenata]

Piano di rottura passante per $(x_{r1}, y_{r1}) = (7,1/0,0)$ m

Piano di rottura passante per $(x_{r2}, y_{r2}) = (7,1/3,6)$ m

Centro di rotazione $(x_{ro}, y_{ro}) = (0,0/0,0)$ m

Discretizzazione terreno

| | |
|--------|--|
| Qi | Quota iniziale strato; |
| Qf | Quota finale strato |
| P.U.V. | Peso unità di volume (kN/m ³); |
| Eps | Inclinazione dello strato (°); |
| Fi | Angolo di resistenza a taglio; |
| Delta | Angolo di attrito terra muro (°); |
| c | Coesione (kN/m ²); |
| β | Angolo perpendicolare al paramento lato monte (°); |

| Qi | Qf | P.U.V. | Eps | Fi | Delta | c | β |
|-----|-----|--------|-----|------|-------|------|-----|
| 3,6 | 0,0 | 19,0 | 0,0 | 25,0 | 16,0 | 10,0 | 0,0 |

Coefficienti di spinta ed inclinazioni

| | |
|----|--------------------------------------|
| μ | Angolo di direzione della spinta |
| Ka | Coefficiente di spinta attiva, |
| Kd | Coefficiente di spinta dinamica, |
| Dk | Coefficiente di incremento dinamico, |

| μ | Ka | Kd | Dk |
|------|------|------|------|
| 74,0 | 0,36 | 0,44 | 0,07 |

Spinte risultanti e punto di applicazione

| | |
|--------|---|
| Fx | Forza in direzione x (kN); |
| Fy | Forza in direzione y (kN); |
| Z(Rpy) | Ordinata punto di applicazione risultante spinta (m); |

| | Fx | Fy | Z(Rpx) | Z(Rpy) |
|-----------------------------------|-------|-------|--------|--------|
| Spinta attiva | 55,65 | 15,96 | 7,08 | 1,2 |
| Spinta attiva Coesione | -43,3 | 0,0 | 7,08 | 1,8 |
| Spinta incremento sismico | 0,0 | 0,0 | 7,08 | 1,2 |
| Spinta statica sovraccarico | 113,9 | 32,66 | 7,08 | 1,8 |
| Spinta incr. sismico sovraccarico | 0,0 | 0,0 | 7,08 | 1,8 |
| Peso muro | 0,0 | 360,0 | 3,54 | 1,8 |

Momento stabilizzante 1618,26 kNm

Momento ribaltante 193,85 kNm

Verifica alla traslazione

| | |
|------------------------------|------------------------|
| Sommatoria forze orizzontali | 126,24 kN |
| Sommatoria forze verticali | 408,62 kN |
| Coefficiente di attrito | 0,47 |
| Adesione | 10,0 kN/m ² |

| | |
|---|-------------|
| Forze normali al piano di scorrimento | 408,62 kN |
| Forze parall. al piano di scorrimento | 126,24 kN |
| Coeff. sicurezza traslazione Csd | 1,73 |

Traslazione verificata Csd>0

Verifica al ribaltamento

| | |
|--|-------------|
| Momento stabilizzante | 1618,26 kNm |
| Momento ribaltante | 193,85 kNm |
| Coeff. sicurezza ribaltamento Csv | 8,35 |

Muro verificato a ribaltamento Csv>0

Carico limite: TERZAGHI

| | |
|--|------------------------|
| Somma forze in direzione x | 126,24 kN |
| Somma forze in direzione y (Fy) | 408,62 kN |
| Somma momenti | -1424,41 kNm |
| Larghezza fondazione | 5,0 m |
| Eccentricità su B | 0,99 m |
| Peso unità di volume | 19,0 kN/m ³ |
| Angolo di resistenza al taglio | 25,0 ° |
| Coesione | 10,0 kN/m ² |
| Terreno sulla fondazione | 0,0 m |
| Peso terreno sul piano di posa | 19,0 kN/m ³ |
| Nq | 12,72 |
| Nc | 25,13 |
| Ng | 9,7 |
| sq | 1,0 |
| sc | 1,0 |
| sg | 1,0 |
| Zg (Effetto inerziale in fondazione) | 1,0 |
| iq | 1,0 |
| ic | 1,0 |
| ig | 1,0 |
| Carico limite verticale (Qlim) | 2543,48 kN |
| Fattore sicurezza (Csq=Qlim/Fy) | 6,22 |

Carico limite verificato Csq>0

Tensioni sul terreno

| | |
|-------------------------------|--------|
| Ascissa centro sollecitazione | 3,49 m |
| Larghezza della fondazione | 5,0 m |

x = 0,46

Tensione... 0,0 kN/m²

x = 5,0

Tensione... 179,92 kN/m²

Combinazione 2 (A2+M2)

| Nr. | X (m) | y (m) | Tipo | Lunghezza ripiegatura (Lrip) (m) | Lunghezza facciata (Lf) (m) | Lunghezza non efficace (Lr) (m) | Lunghezza efficace (Le) (m) | Lunghezza totale (Lt) (m) | Interasse (m) | Fattore sicurezza a sfilamento | Fattore sicurezza a rottura |
|-----|-------|-------|-------------------|----------------------------------|-----------------------------|---------------------------------|-----------------------------|---------------------------|---------------|--------------------------------|-----------------------------|
| 1 | 0,0 | 0,0 | (1) Geogri lie | 1 | 0,6 | 0 | 5 | 5 | -- | 23,72 | 1,85 |
| 2 | 0,35 | 0,6 | (1) Geogri lie | 1 | 0,6 | 0 | 5 | 5 | -- | 25,9 | 2,2 |

| | | | | | | | | | | | |
|---|------|-----|----------------------|---|-----|------|------|---|----|--------|-------|
| 3 | 0,69 | 1,2 | (1) Geogri lie | 1 | 0,6 | 0,01 | 4,99 | 5 | -- | 29,49 | 2,73 |
| 4 | 1,04 | 1,8 | (1) Geogri lie | 1 | 0,6 | 0,01 | 4,99 | 5 | -- | 36,12 | 3,65 |
| 5 | 1,39 | 2,4 | (1) Geogri lie | 1 | 0,6 | 0,02 | 4,98 | 5 | -- | 51,02 | 5,58 |
| 6 | 1,73 | 3,0 | (1) Geogri lie | 1 | 0,6 | 0,03 | 4,97 | 5 | -- | 105,02 | 12,29 |

VERIFICHE GLOBALI [Condizione drenata]

Piano di rottura passante per $(x_{r1}, y_{r1}) = (7,1/0,0)$ m

Piano di rottura passante per $(x_{r2}, y_{r2}) = (7,1/3,6)$ m

Centro di rotazione $(x_{ro}, y_{ro}) = (0,0/0,0)$ m

Discretizzazione terreno

| | |
|--------|--|
| Qi | Quota iniziale strato; |
| Qf | Quota finale strato |
| P.U.V. | Peso unità di volume (kN/m ³); |
| Eps | Inclinazione dello strato (°); |
| Fi | Angolo di resistenza a taglio; |
| Delta | Angolo di attrito terra muro (°); |
| c | Coesione (kN/m ²); |
| β | Angolo perpendicolare al paramento lato monte (°); |

| Qi | Qf | P.U.V. | Eps | Fi | Delta | c | β |
|-----|-----|--------|-----|-------|-------|-----|-----|
| 3,6 | 0,0 | 19,0 | 0,0 | 20,46 | 16,0 | 8,0 | 0,0 |

Coefficienti di spinta ed inclinazioni

| | |
|----|--------------------------------------|
| μ | Angolo di direzione della spinta |
| Ka | Coefficiente di spinta attiva, |
| Kd | Coefficiente di spinta dinamica, |
| Dk | Coefficiente di incremento dinamico, |

| μ | Ka | Kd | Dk |
|------|------|------|------|
| 74,0 | 0,43 | 0,51 | 0,09 |

Spinte risultanti e punto di applicazione

| | |
|--------|---|
| Fx | Forza in direzione x (kN); |
| Fy | Forza in direzione y (kN); |
| Z(Rpy) | Ordinata punto di applicazione risultante spinta (m); |

| | Fx | Fy | Z(Rpx) | Z(Rpy) |
|-----------------------------------|--------|-------|--------|--------|
| Spinta attiva | 50,37 | 14,44 | 7,08 | 1,2 |
| Spinta attiva Coesione | -37,58 | 0,0 | 7,08 | 1,8 |
| Spinta incremento sismico | 0,0 | 0,0 | 7,08 | 1,2 |
| Spinta statica sovraccarico | 103,1 | 29,56 | 7,08 | 1,8 |
| Spinta incr. sismico sovraccarico | 0,0 | 0,0 | 7,08 | 1,8 |
| Peso muro | 0,0 | 360,0 | 3,54 | 1,8 |

Momento stabilizzante

1585,62 kNm

Momento ribaltante 178,38 kNm

Verifica alla traslazione

| | |
|---|-----------------------|
| Sommatoria forze orizzontali | 115,89 kN |
| Sommatoria forze verticali | 404,01 kN |
| Coefficiente di attrito | 0,37 |
| Adesione | 8,0 kN/m ² |
| Forze normali al piano di scorrimento | 404,01 kN |
| Forze parall. al piano di scorrimento | 115,89 kN |
| Coeff. sicurezza traslazione Csd | 1,65 |

Traslazione verificata Csd>0

Verifica al ribaltamento

| | |
|--|-------------|
| Momento stabilizzante | 1585,62 kNm |
| Momento ribaltante | 178,38 kNm |
| Coeff. sicurezza ribaltamento Csv | 8,89 |

Muro verificato a ribaltamento Csv>0

Carico limite: TERZAGHI

| | |
|--|------------------------|
| Somma forze in direzione x | 115,89 kN |
| Somma forze in direzione y (Fy) | 404,01 kN |
| Somma momenti | -1407,25 kNm |
| Larghezza fondazione | 5,0 m |
| Eccentricità su B | 0,98 m |
| Peso unità di volume | 19,0 kN/m ³ |
| Angolo di resistenza al taglio | 20,46 ° |
| Coesione | 8,0 kN/m ² |
| Terreno sulla fondazione | 0,0 m |
| Peso terreno sul piano di posa | 19,0 kN/m ³ |
| Nq | 7,81 |
| Nc | 18,24 |
| Ng | 5,32 |
| sq | 1,0 |
| sc | 1,0 |
| sg | 1,0 |
| Zg (Effetto inerziale in fondazione) | 1,0 |
| iq | 1,0 |
| ic | 1,0 |
| ig | 1,0 |
| Carico limite verticale (Qlim) | 1993,19 kN |
| Fattore sicurezza (Csq=Qlim/Fy) | 4,93 |

Carico limite verificato Csq>0

Tensioni sul terreno

| | |
|-------------------------------|--------|
| Ascissa centro sollecitazione | 3,48 m |
| Larghezza della fondazione | 5,0 m |

x = 0,45

Tensione... 0,0 kN/m²

x = 5,0

Tensione... 177,57 kN/m²

Combinazione 3 (EQU+M2)

| Nr. | X (m) | y (m) | Tipo | Lunghezza ripiegatura (Lrip) | Lunghezza facciata (Lf) | Lunghezza non efficace (Lr) | Lunghezza efficace (Le) | Lunghezza totale (Lt) | Interasse (m) | Fattore sicurezza a sfilamento | Fattore sicurezza a rottura |
|-----|-------|-------|------|------------------------------|-------------------------|-----------------------------|-------------------------|-----------------------|---------------|--------------------------------|-----------------------------|
|-----|-------|-------|------|------------------------------|-------------------------|-----------------------------|-------------------------|-----------------------|---------------|--------------------------------|-----------------------------|

| | | | | (m) | | | | | | | | |
|---|------|-----|----------------------|-----|-----|------|------|---|----|--------|-------|--|
| 1 | 0,0 | 0,0 | (1) Geogri lie | 1 | 0,6 | 0 | 5 | 5 | -- | 22,29 | 1,68 | |
| 2 | 0,35 | 0,6 | (1) Geogri lie | 1 | 0,6 | 0 | 5 | 5 | -- | 24,49 | 2 | |
| 3 | 0,69 | 1,2 | (1) Geogri lie | 1 | 0,6 | 0,01 | 4,99 | 5 | -- | 28,09 | 2,48 | |
| 4 | 1,04 | 1,8 | (1) Geogri lie | 1 | 0,6 | 0,01 | 4,99 | 5 | -- | 34,72 | 3,32 | |
| 5 | 1,39 | 2,4 | (1) Geogri lie | 1 | 0,6 | 0,02 | 4,98 | 5 | -- | 49,59 | 5,07 | |
| 6 | 1,73 | 3,0 | (1) Geogri lie | 1 | 0,6 | 0,03 | 4,97 | 5 | -- | 103,45 | 11,17 | |

VERIFICHE GLOBALI [Condizione drenata]

Piano di rottura passante per $(x_{r1}, y_{r1}) = (7,1/0,0)$ m

Piano di rottura passante per $(x_{r2}, y_{r2}) = (7,1/3,6)$ m

Centro di rotazione $(x_{ro}, y_{ro}) = (0,0/0,0)$ m

Discretizzazione terreno

| | |
|--------|--|
| Qi | Quota iniziale strato; |
| Qf | Quota finale strato |
| P.U.V. | Peso unità di volume (kN/m ³); |
| Eps | Inclinazione dello strato (°); |
| Fi | Angolo di resistenza a taglio; |
| Delta | Angolo di attrito terra muro (°); |
| c | Coesione (kN/m ²); |
| β | Angolo perpendicolare al paramento lato monte (°); |

| Qi | Qf | P.U.V. | Eps | Fi | Delta | c | β |
|-----|-----|--------|-----|-------|-------|-----|-----|
| 3,6 | 0,0 | 19,0 | 0,0 | 20,46 | 16,0 | 8,0 | 0,0 |

Coefficienti di spinta ed inclinazioni

| | |
|----|--------------------------------------|
| μ | Angolo di direzione della spinta |
| Ka | Coefficiente di spinta attiva, |
| Kd | Coefficiente di spinta dinamica, |
| Dk | Coefficiente di incremento dinamico, |

| μ | Ka | Kd | Dk |
|------|------|------|------|
| 74,0 | 0,43 | 0,51 | 0,09 |

Spinte risultanti e punto di applicazione

| | |
|--------|---|
| Fx | Forza in direzione x (kN); |
| Fy | Forza in direzione y (kN); |
| Z(Rpy) | Ordinata punto di applicazione risultante spinta (m); |

| | Fx | Fy | Z(Rpx) | Z(Rpy) |
|---------------|-------|-------|--------|--------|
| Spinta attiva | 55,41 | 15,89 | 7,08 | 1,2 |

| | | | | |
|-----------------------------------|--------|-------|------|-----|
| Spinta attiva Coesione | -37,58 | 0,0 | 7,08 | 1,8 |
| Spinta incremento sismico | 0,0 | 0,0 | 7,08 | 1,2 |
| Spinta statica sovraccarico | 113,41 | 32,52 | 7,08 | 1,8 |
| Spinta incr. sismico sovraccarico | 0,0 | 0,0 | 7,08 | 1,8 |
| Peso muro | 0,0 | 324,0 | 3,54 | 1,8 |

| | |
|-----------------------|-------------|
| Momento stabilizzante | 1489,36 kNm |
| Momento ribaltante | 202,98 kNm |

Verifica alla traslazione

| | |
|---|-----------------------|
| Sommatoria forze orizzontali | 131,24 kN |
| Sommatoria forze verticali | 372,41 kN |
| Coefficiente di attrito | 0,37 |
| Adesione | 8,0 kN/m ² |
| Forze normali al piano di scorrimento | 372,41 kN |
| Forze parall. al piano di scorrimento | 131,24 kN |
| Coeff. sicurezza traslazione Csd | 1,36 |

Traslazione verificata Csd>0

Verifica al ribaltamento

| | |
|--|-------------|
| Momento stabilizzante | 1489,36 kNm |
| Momento ribaltante | 202,98 kNm |
| Coeff. sicurezza ribaltamento Csv | 7,34 |

Muro verificato a ribaltamento Csv>0

Carico limite: TERZAGHI

| | |
|--|------------------------|
| Somma forze in direzione x | 131,24 kN |
| Somma forze in direzione y (Fy) | 372,41 kN |
| Somma momenti | -1286,38 kNm |
| Larghezza fondazione | 5,0 m |
| Eccentricità su B | 0,95 m |
| Peso unità di volume | 19,0 kN/m ³ |
| Angolo di resistenza al taglio | 20,46 ° |
| Coesione | 8,0 kN/m ² |
| Terreno sulla fondazione | 0,0 m |
| Peso terreno sul piano di posa | 19,0 kN/m ³ |
| Nq | 7,81 |
| Nc | 18,24 |
| Ng | 5,32 |
| sq | 1,0 |
| sc | 1,0 |
| sg | 1,0 |
| Zg (Effetto inerziale in fondazione) | 1,0 |
| iq | 1,0 |
| ic | 1,0 |
| ig | 1,0 |
| Carico limite verticale (Qlim) | 1993,19 kN |
| Fattore sicurezza (Csq=Qlim/Fy) | 5,35 |

Carico limite verificato Csq>0

Tensioni sul terreno

| | |
|-------------------------------|--------|
| Ascissa centro sollecitazione | 3,45 m |
| Larghezza della fondazione | 5,0 m |

x = 0,36

Tensione... 0,0 kN/m²

x = 5,0

Tensione... 160,61 kN/m²

Combinazione 4 (Sisma)

| Nr. | X (m) | y (m) | Tipo | Lunghezza ripiegatura (Lrip) (m) | Lunghezza facciata (Lf) (m) | Lunghezza non efficace (Lr) (m) | Lunghezza efficace (Le) (m) | Lunghezza totale (Lt) (m) | Interasse (m) | Fattore sicurezza a sfilamento | Fattore sicurezza a rottura |
|-----|-------|-------|----------------------|----------------------------------|-----------------------------|---------------------------------|-----------------------------|---------------------------|---------------|--------------------------------|-----------------------------|
| 1 | 0,0 | 0,0 | (1) Geogri lie | 1 | 0,6 | 0 | 5 | 5 | -- | 31,13 | 1,94 |
| 2 | 0,35 | 0,6 | (1) Geogri lie | 1 | 0,6 | 0 | 5 | 5 | -- | 34 | 2,31 |
| 3 | 0,69 | 1,2 | (1) Geogri lie | 1 | 0,6 | 0 | 5 | 5 | -- | 38,75 | 2,87 |
| 4 | 1,04 | 1,8 | (1) Geogri lie | 1 | 0,6 | 0 | 5 | 5 | -- | 47,51 | 3,83 |
| 5 | 1,39 | 2,4 | (1) Geogri lie | 1 | 0,6 | 0 | 5 | 5 | -- | 67,23 | 5,86 |
| 6 | 1,73 | 3,0 | (1) Geogri lie | 1 | 0,6 | 0 | 5 | 5 | -- | 139,27 | 12,97 |

VERIFICHE GLOBALI [Condizione drenata]

Piano di rottura passante per $(x_{r1}, y_{r1}) = (7,1/0,0)$ m

Piano di rottura passante per $(x_{r2}, y_{r2}) = (7,1/3,6)$ m

Centro di rotazione $(x_{ro}, y_{ro}) = (0,0/0,0)$ m

Discretizzazione terreno

| | |
|--------|--|
| Qi | Quota iniziale strato; |
| Qf | Quota finale strato |
| P.U.V. | Peso unità di volume (kN/m ³); |
| Eps | Inclinazione dello strato (°); |
| Fi | Angolo di resistenza a taglio; |
| Delta | Angolo di attrito terra muro (°); |
| c | Coesione (kN/m ²); |
| β | Angolo perpendicolare al paramento lato monte (°); |

| Qi | Qf | P.U.V. | Eps | Fi | Delta | c | β |
|-----|-----|--------|-----|------|-------|------|-----|
| 3,6 | 0,0 | 19,0 | 0,0 | 25,0 | 16,0 | 10,0 | 0,0 |

Coefficienti di spinta ed inclinazioni

| | |
|----|--------------------------------------|
| μ | Angolo di direzione della spinta |
| Ka | Coefficiente di spinta attiva, |
| Kd | Coefficiente di spinta dinamica, |
| Dk | Coefficiente di incremento dinamico, |

| μ | Ka | Kd | Dk |
|------|------|------|------|
| 74,0 | 0,36 | 0,44 | 0,07 |

Spinte risultanti e punto di applicazione

Fx Forza in direzione x (kN);
 Fy Forza in direzione y (kN);
 Z(Rpy) Ordinata punto di applicazione risultante spinta (m);

| | Fx | Fy | Z(Rpx) | Z(Rpy) |
|-----------------------------------|-------|-------|--------|--------|
| Spinta attiva | 42,81 | 12,27 | 7,08 | 1,2 |
| Spinta attiva Coesione | -43,3 | 0,0 | 7,08 | 1,8 |
| Spinta incremento sismico | 8,81 | 2,53 | 7,08 | 1,2 |
| Spinta statica sovraccarico | 87,61 | 25,12 | 7,08 | 1,8 |
| Spinta incr. sismico sovraccarico | 18,03 | 5,17 | 7,08 | 1,8 |
| Peso muro | 33,48 | 360,0 | 3,54 | 1,8 |

Momento stabilizzante 1593,31 kNm
 Momento ribaltante 234,41 kNm

Verifica alla traslazione

| | |
|---|------------------------|
| Sommatoria forze orizzontali | 147,43 kN |
| Sommatoria forze verticali | 405,09 kN |
| Coefficiente di attrito | 0,47 |
| Adesione | 10,0 kN/m ² |
| Forze normali al piano di scorrimento | 405,09 kN |
| Forze parall. al piano di scorrimento | 147,43 kN |
| Coeff. sicurezza traslazione Csd | 1,47 |
| Traslazione verificata Csd>0 | |

Verifica al ribaltamento

| | |
|--|-------------|
| Momento stabilizzante | 1593,31 kNm |
| Momento ribaltante | 234,41 kNm |
| Coeff. sicurezza ribaltamento Csv | 6,8 |
| Muro verificato a ribaltamento Csv>0 | |

Carico limite: TERZAGHI

| | |
|--|------------------------|
| Somma forze in direzione x | 147,43 kN |
| Somma forze in direzione y (Fy) | 405,09 kN |
| Somma momenti | -1358,9 kNm |
| Larghezza fondazione | 5,0 m |
| Eccentricità su B | 0,85 m |
| Peso unità di volume | 19,0 kN/m ³ |
| Angolo di resistenza al taglio | 25,0 ° |
| Coesione | 10,0 kN/m ² |
| Terreno sulla fondazione | 0,0 m |
| Peso terreno sul piano di posa | 19,0 kN/m ³ |
| Nq | 12,72 |
| Nc | 25,13 |
| Ng | 9,7 |
| sq | 1,0 |
| sc | 1,0 |
| sg | 1,0 |
| Zg (Effetto inerziale in fondazione) | 1,0 |
| iq | 1,0 |
| ic | 1,0 |
| ig | 1,0 |
| Carico limite verticale (Qlim) | 2543,48 kN |
| Fattore sicurezza (Csq=Qlim/Fy) | 6,28 |
| Carico limite verificato Csq>0 | |

Tensioni sul terreno

Ascissa centro sollecitazione 3,35 m
Larghezza della fondazione 5,0 m

x = 0,06 Tensione... 0,0 kN/m²
x = 5,0 Tensione... 164,13 kN/m²

MU37 – Verifiche di stabilità globale

Definizione

Per pendio s'intende una porzione di versante naturale il cui profilo originario è stato modificato da interventi artificiali rilevanti rispetto alla stabilità. Per frana s'intende una situazione di instabilità che interessa versanti naturali e coinvolgono volumi considerevoli di terreno.

Introduzione all'analisi di stabilità

La risoluzione di un problema di stabilità richiede la presa in conto delle equazioni di campo e dei legami costitutivi. Le prime sono di equilibrio, le seconde descrivono il comportamento del terreno. Tali equazioni risultano particolarmente complesse in quanto i terreni sono dei sistemi multifase, che possono essere ricondotti a sistemi monofase solo in condizioni di terreno secco, o di analisi in condizioni drenate.

Nella maggior parte dei casi ci si trova a dover trattare un materiale che se saturo è per lo meno bifase, ciò rende la trattazione delle equazioni di equilibrio notevolmente complicata. Inoltre è praticamente impossibile definire una legge costitutiva di validità generale, in quanto i terreni presentano un comportamento non-lineare già a piccole deformazioni, sono anisotropi ed inoltre il loro comportamento dipende non solo dallo sforzo deviatorico ma anche da quello normale. A causa delle suddette difficoltà vengono introdotte delle ipotesi semplificative:

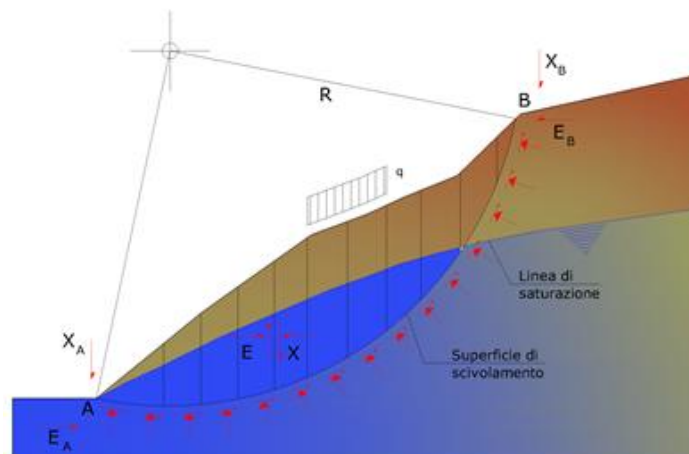
1. Si usano leggi costitutive semplificate: modello rigido perfettamente plastico. Si assume che la resistenza del materiale sia espressa unicamente dai parametri coesione (c) e angolo di resistenza al taglio (ϕ), costanti per il terreno e caratteristici dello stato plastico; quindi si suppone valido il criterio di rottura di Mohr-Coulomb.
2. In alcuni casi vengono soddisfatte solo in parte le equazioni di equilibrio.

Metodo equilibrio limite (LEM)

Il metodo dell'equilibrio limite consiste nello studiare l'equilibrio di un corpo rigido, costituito dal pendio e da una superficie di scorrimento di forma qualsiasi (linea retta, arco di cerchio, spirale logaritmica); da tale equilibrio vengono calcolate le tensioni da taglio (τ) e confrontate con la resistenza disponibile (τ_f), valutata secondo il criterio di rottura di Coulomb, da tale confronto ne scaturisce la prima indicazione sulla stabilità attraverso il coefficiente di sicurezza:

$$F = \tau_f / \tau$$

Tra i metodi dell'equilibrio limite alcuni considerano l'equilibrio globale del corpo rigido (Culman), altri a causa della non omogeneità dividono il corpo in conci considerando l'equilibrio di ciascuno (Fellenius, Bishop, Janbu ecc.). Di seguito vengono discussi i metodi dell'equilibrio limite dei conci.



Metodo dei conci

La massa interessata dallo scivolamento viene suddivisa in un numero conveniente di conci. Se il numero dei conci è pari a n , il problema presenta le seguenti incognite:

- n valori delle forze normali N_i agenti sulla base di ciascun concio;
- n valori delle forze di taglio alla base del concio T_i ;
- $(n-1)$ forze normali E_i agenti sull'interfaccia dei conci;
- $(n-1)$ forze tangenziali X_i agenti sull'interfaccia dei conci;
- n valori della coordinata a che individua il punto di applicazione delle E_i ;
- $(n-1)$ valori della coordinata che individua il punto di applicazione delle X_i ;
- una incognita costituita dal fattore di sicurezza F .

Complessivamente le incognite sono $(6n-2)$.

Mentre le equazioni a disposizione sono:

- equazioni di equilibrio dei momenti n ;
- equazioni di equilibrio alla traslazione verticale n ;
- equazioni di equilibrio alla traslazione orizzontale n ;
- equazioni relative al criterio di rottura n .

Totale numero di equazioni $4n$.

Il problema è staticamente indeterminato ed il grado di indeterminazione è pari a :

$$i = (6n - 2) - (4n) = 2n - 2$$

Il grado di indeterminazione si riduce ulteriormente a $(n-2)$ in quanto si fa l'assunzione che N_i sia applicato nel punto medio della striscia. Ciò equivale ad ipotizzare che le tensioni normali totali siano uniformemente distribuite.

I diversi metodi che si basano sulla teoria dell'equilibrio limite si differenziano per il modo in cui vengono eliminate le $(n-2)$ indeterminazioni.

Metodo di Bishop (1955)

Con tale metodo non viene trascurato nessun contributo di forze agenti sui blocchi e fu il primo a descrivere i problemi legati ai metodi convenzionali.

Le equazioni usate per risolvere il problema sono:

$$\sum F_y = 0, \quad \sum M_0 = 0 \quad \text{Criterio di rottura}$$

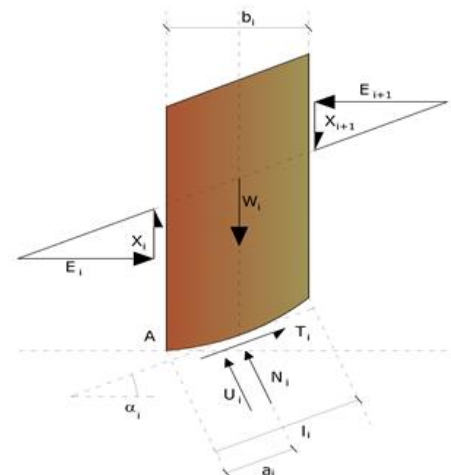
$$F = \frac{\sum \{c_i \times b_i + (W_i - u_i \times b_i + \Delta X_i) \times \tan \varphi_i\} \times \frac{\sec \alpha_i}{1 + \tan \alpha_i \times \tan \varphi_i / F}}{\sum W_i \times \sin \alpha_i}$$

I valori di F e di ΔX per ogni elemento che soddisfano questa equazione danno una soluzione rigorosa al problema. Come prima approssimazione conviene porre $\Delta X = 0$ ed iterare per il calcolo del fattore di sicurezza, tale procedimento è noto come metodo di **Bishop ordinario**, gli errori commessi rispetto al metodo completo sono di circa 1 %.

Valutazione dell'azione sismica

La stabilità dei pendii nei confronti dell'azione sismica viene verificata con il metodo pseudo-statico. Per i terreni che sotto l'azione di un carico ciclico possono sviluppare pressioni interstiziali elevate viene considerato un aumento in percento delle pressioni neutre che tiene conto di questo fattore di perdita di resistenza.

Ai fini della valutazione dell'azione sismica vengono considerate le seguenti forze:



$$F_H = K_x W$$

$$F_V = K_y W$$

Essendo:

- F_H e F_V rispettivamente la componente orizzontale e verticale della forza d'inerzia applicata al baricentro del concio;
- W peso concio;
- K_x coefficiente sismico orizzontale;
- K_y coefficiente sismico verticale.

Ricerca della superficie di scorrimento critica

In presenza di mezzi omogenei non si hanno a disposizione metodi per individuare la superficie di scorrimento critica ed occorre esaminarne un numero elevato di potenziali superfici.

Nel caso vengano ipotizzate superfici di forma circolare, la ricerca diventa più semplice, in quanto dopo aver posizionato una maglia dei centri costituita da m righe e n colonne saranno esaminate tutte le superfici aventi per centro il generico nodo della maglia $m \times n$ e raggio variabile in un determinato range di valori tale da esaminare superfici cinematicamente ammissibili.

Analisi di stabilità dei pendii con: BISHOP (1955) – CONDIZIONI STATICHE

| | |
|---|--------------------|
| Calcolo eseguito secondo | NTC 2008 & Circ. |
| Numero di strati | 4,0 |
| Numero dei conci | 50,0 |
| Grado di sicurezza ritenuto accettabile | 1,1 |
| Coefficiente parziale resistenza | 1,0 |
| Parametri geotecnici da usare. Angolo di attrito: | Picco |
| Analisi | Condizione drenata |
| Superficie di forma circolare | |

Maglia dei Centri

| | |
|--|--------|
| Ascissa vertice sinistro inferiore xi | 2,0 m |
| Ordinata vertice sinistro inferiore yi | 10,0 m |
| Ascissa vertice destro superiore xs | 8,0 m |
| Ordinata vertice destro superiore ys | 20,0 m |
| Passo di ricerca | 10,0 |
| Numero di celle lungo x | 10,0 |
| Numero di celle lungo y | 10,0 |

Vertici profilo

| Nr | X (m) | y (m) |
|----|----------|----------|
| 1 | -22,0 | -6,53 |
| 2 | -14,22 | -5,56 |
| 3 | -10,78 | -4,7 |
| 4 | -1,97 | 0,0 |
| 5 | 0,0 | 0,0 |
| 6 | 1,76 | 3,0 |
| 7 | 2,46 | 3,0 |
| 8 | 10,66 | 8,0 |
| 9 | 22,75 | 8,06 |
| 10 | 24,55 | 8,06 |

| | | |
|----|-------|-------|
| 11 | 25,28 | 8,77 |
| 12 | 33,61 | 13,77 |
| 13 | 34,61 | 13,77 |
| 14 | 42,39 | 18,15 |
| 15 | 47,5 | 19,72 |

Falda

| Nr. | X (m) | y (m) |
|-----|----------|----------|
| 1 | -22,0 | -8,53 |
| 2 | -10,68 | -6,7 |
| 3 | 5,0 | -2,0 |
| 4 | 17,62 | 4,12 |
| 5 | 23,59 | 5,59 |
| 6 | 27,62 | 6,79 |
| 7 | 30,08 | 9,51 |
| 8 | 40,41 | 13,6 |
| 9 | 47,62 | 16,68 |

Vertici strato1

| N | X (m) | y (m) |
|----|----------|----------|
| 1 | -22,0 | -6,53 |
| 2 | -14,22 | -5,56 |
| 3 | -10,78 | -4,7 |
| 4 | -1,97 | 0,0 |
| 5 | 0,0 | 0,0 |
| 6 | 0,02 | 0,03 |
| 7 | 8,0 | 0,03 |
| 8 | 21,32 | 6,05 |
| 9 | 33,81 | 13,77 |
| 10 | 34,61 | 13,77 |
| 11 | 42,39 | 18,15 |
| 12 | 47,5 | 19,72 |

Vertici strato2

| N | X (m) | y (m) |
|---|----------|----------|
| 1 | -22,0 | -12,93 |
| 2 | -14,22 | -11,96 |
| 3 | 4,18 | -3,11 |
| 4 | 17,5 | 4,11 |
| 5 | 23,47 | 6,83 |
| 6 | 27,76 | 6,84 |
| 7 | 29,95 | 9,5 |
| 8 | 40,29 | 11,2 |
| 9 | 47,5 | 11,2 |

Vertici strato3

| N | X (m) | y (m) |
|---|----------|----------|
| 1 | -22,0 | -14,93 |
| 2 | -12,35 | -13,73 |
| 3 | 24,56 | 4,74 |
| 4 | 31,77 | 4,76 |
| 5 | 37,23 | 8,68 |
| 6 | 47,5 | 9,11 |

Coefficienti parziali azioni

| | | |
|------------------------------------|-----|-----|
| Sfavorevoli: Permanenti, variabili | 1,0 | 1,3 |
| Favorevoli: Permanenti, variabili | 1,0 | 1,3 |

Coefficienti parziali per i parametri geotecnici del terreno

| | |
|---|------|
| Tangente angolo di resistenza al taglio | 1,25 |
| Coazione efficace | 1,25 |
| Coazione non drenata | 1,4 |
| Riduzione parametri geotecnici terreno | Si |

Stratigrafia

| Strato | Coazione (kN/m ²) | Coazione non drenata (kN/m ²) | Angolo resistenza al taglio (°) | Peso unità di volume (kN/m ³) | Peso saturo (kN/m ³) | Litologia | |
|--------|-------------------------------|---|---------------------------------|---|----------------------------------|-----------|--|
| 1 | 0 | | 35 | 20 | 20 | Rilevato | |
| 2 | 10 | | 25 | 19 | 19 | Ecla | |
| 3 | 10 | | 26 | 19 | 19 | Salt | |
| 4 | 70 | | 36 | 23 | 23 | Ap | |

Terra rinforzata

| No | Tipologia | Tallow (kN) | Resistenza sfilamento (kN) |
|----|------------|-------------|----------------------------|
| 1 | Geogriglie | 28,99 | 102,4205 |
| 2 | Geogriglie | 28,99 | 95,67636 |
| 3 | Geogriglie | 28,99 | 89,58981 |
| 4 | Geogriglie | 28,99 | 84,36487 |
| 5 | Geogriglie | 28,99 | 80,2998 |
| 6 | Geogriglie | 28,99 | 77,84846 |

Carichi distribuiti

| N° | xi (m) | yi (m) | xf (m) | yf (m) | Carico esterno (kN/m ²) |
|----|--------|--------|--------|----------|-------------------------------------|
| 1 | 12 | 8 | 22 | 8,050961 | 30 |

Risultati analisi pendio [NTC 2008 & Circ.]

| | |
|----------------------------|--------|
| Fs minimo individuato | 1,24 |
| Ascissa centro superficie | 2,0 m |
| Ordinata centro superficie | 19,0 m |
| Raggio superficie | 20,0 m |

B: Larghezza del conchio; Alfa: Angolo di inclinazione della base del conchio; Li: Lunghezza della base del conchio; Wi: Peso del conchio; Ui: Forze derivanti dalle pressioni neutre; Ni: forze agenti normalmente alla direzione di scivolamento; Ti: forze agenti parallelamente alla superficie di scivolamento; Fi: Angolo di attrito; c: coazione.

$$x_c = 2,00 \quad y_c = 19,00 \quad R_c = 20,00 \quad F_s = 1,24$$

| Nr. | B m | Alfa (°) | Li m | Wi (kN) | Kh•Wi (kN) | Kv•Wi (kN) | c (kN/m ²) | Fi (°) | Ui (kN) | N'i (kN) | Ti (kN) |
|-----|--------|-------------|---------|------------|---------------|---------------|---------------------------|-----------|------------|-------------|------------|
|-----|--------|-------------|---------|------------|---------------|---------------|---------------------------|-----------|------------|-------------|------------|

| | | | | | | | | | | | |
|----|------|-------|------|-------|-----|-----|-----|------|-----|------|------|
| 1 | 0,43 | -13,1 | 0,44 | 1,36 | 0,0 | 0,0 | 8,0 | 20,5 | 0,0 | 2,2 | 3,5 |
| 2 | 0,37 | -12,0 | 0,37 | 3,25 | 0,0 | 0,0 | 8,0 | 20,5 | 0,0 | 4,1 | 3,7 |
| 3 | 0,49 | -10,7 | 0,5 | 6,1 | 0,0 | 0,0 | 8,0 | 20,5 | 0,0 | 7,2 | 5,4 |
| 4 | 0,43 | -9,4 | 0,44 | 5,98 | 0,0 | 0,0 | 8,0 | 20,5 | 0,0 | 6,9 | 4,9 |
| 5 | 0,43 | -8,1 | 0,43 | 6,53 | 0,0 | 0,0 | 8,0 | 20,5 | 0,0 | 7,3 | 5,0 |
| 6 | 0,43 | -6,9 | 0,43 | 6,99 | 0,0 | 0,0 | 8,0 | 20,5 | 0,0 | 7,7 | 5,1 |
| 7 | 0,43 | -5,6 | 0,43 | 7,82 | 0,0 | 0,0 | 8,0 | 20,5 | 0,0 | 8,4 | 5,3 |
| 8 | 0,43 | -4,4 | 0,43 | 14,43 | 0,0 | 0,0 | 8,0 | 20,5 | 0,0 | 15,0 | 7,3 |
| 9 | 0,43 | -3,2 | 0,43 | 20,97 | 0,0 | 0,0 | 8,0 | 20,5 | 0,0 | 21,5 | 9,3 |
| 10 | 0,43 | -1,9 | 0,43 | 27,44 | 0,0 | 0,0 | 8,0 | 20,5 | 0,0 | 27,8 | 11,2 |
| 11 | 0,22 | -1,0 | 0,22 | 16,71 | 0,0 | 0,0 | 8,0 | 20,5 | 0,0 | 16,8 | 6,5 |
| 12 | 0,64 | 0,2 | 0,64 | 50,32 | 0,0 | 0,0 | 8,0 | 20,5 | 0,0 | 50,2 | 19,2 |
| 13 | 0,43 | 1,7 | 0,43 | 34,67 | 0,0 | 0,0 | 8,0 | 20,5 | 0,0 | 34,3 | 13,1 |
| 14 | 0,43 | 3,0 | 0,43 | 36,78 | 0,0 | 0,0 | 8,0 | 20,5 | 0,0 | 36,1 | 13,6 |
| 15 | 0,43 | 4,2 | 0,43 | 38,81 | 0,0 | 0,0 | 8,0 | 20,5 | 0,0 | 37,9 | 14,2 |
| 16 | 0,43 | 5,5 | 0,43 | 40,77 | 0,0 | 0,0 | 8,0 | 20,5 | 0,0 | 39,5 | 14,7 |
| 17 | 0,43 | 6,7 | 0,43 | 42,65 | 0,0 | 0,0 | 8,0 | 20,5 | 0,0 | 41,2 | 15,2 |
| 18 | 0,43 | 7,9 | 0,43 | 44,45 | 0,0 | 0,0 | 8,0 | 20,5 | 0,0 | 42,7 | 15,7 |
| 19 | 0,43 | 9,2 | 0,44 | 46,17 | 0,0 | 0,0 | 8,0 | 20,5 | 0,0 | 44,2 | 16,1 |
| 20 | 0,43 | 10,4 | 0,44 | 47,82 | 0,0 | 0,0 | 8,0 | 20,5 | 0,0 | 45,6 | 16,5 |
| 21 | 0,43 | 11,7 | 0,44 | 49,39 | 0,0 | 0,0 | 8,0 | 20,5 | 0,0 | 46,9 | 17,0 |
| 22 | 0,43 | 12,9 | 0,44 | 50,88 | 0,0 | 0,0 | 8,0 | 20,5 | 0,0 | 48,2 | 17,4 |
| 23 | 0,43 | 14,2 | 0,44 | 52,28 | 0,0 | 0,0 | 8,0 | 20,5 | 0,0 | 49,4 | 17,7 |
| 24 | 0,43 | 15,5 | 0,45 | 53,6 | 0,0 | 0,0 | 8,0 | 20,5 | 0,0 | 50,6 | 18,1 |
| 25 | 0,43 | 16,8 | 0,45 | 54,84 | 0,0 | 0,0 | 8,0 | 20,5 | 0,0 | 51,7 | 18,5 |
| 26 | 0,43 | 18,1 | 0,45 | 55,96 | 0,0 | 0,0 | 8,0 | 20,5 | 0,0 | 52,7 | 18,8 |
| 27 | 0,43 | 19,4 | 0,46 | 56,94 | 0,0 | 0,0 | 8,0 | 20,5 | 0,0 | 53,6 | 19,1 |
| 28 | 0,43 | 20,7 | 0,46 | 57,83 | 0,0 | 0,0 | 8,0 | 20,5 | 0,0 | 54,5 | 19,4 |
| 29 | 0,43 | 22,0 | 0,46 | 58,63 | 0,0 | 0,0 | 8,0 | 20,5 | 0,0 | 55,3 | 19,6 |
| 30 | 0,43 | 23,3 | 0,47 | 59,33 | 0,0 | 0,0 | 8,0 | 20,5 | 0,0 | 56,0 | 19,9 |
| 31 | 0,53 | 24,8 | 0,58 | 73,3 | 0,0 | 0,0 | 8,0 | 20,5 | 0,0 | 69,4 | 24,6 |
| 32 | 0,33 | 26,2 | 0,37 | 46,41 | 0,0 | 0,0 | 8,0 | 20,5 | 0,0 | 44,0 | 15,7 |
| 33 | 0,43 | 27,4 | 0,48 | 57,99 | 0,0 | 0,0 | 8,0 | 20,5 | 0,0 | 55,1 | 19,7 |
| 34 | 0,43 | 28,8 | 0,49 | 56,05 | 0,0 | 0,0 | 8,0 | 20,5 | 0,0 | 53,4 | 19,2 |
| 35 | 0,43 | 30,2 | 0,5 | 65,01 | 0,0 | 0,0 | 8,0 | 20,5 | 0,0 | 62,4 | 22,0 |
| 36 | 0,43 | 31,7 | 0,51 | 68,6 | 0,0 | 0,0 | 8,0 | 20,5 | 0,0 | 66,3 | 23,2 |
| 37 | 0,43 | 33,1 | 0,51 | 66,3 | 0,0 | 0,0 | 8,0 | 20,5 | 0,0 | 64,4 | 22,7 |
| 38 | 0,43 | 34,6 | 0,52 | 63,85 | 0,0 | 0,0 | 0,0 | 29,3 | 0,0 | 59,1 | 26,7 |
| 39 | 0,43 | 36,1 | 0,53 | 61,24 | 0,0 | 0,0 | 0,0 | 29,3 | 0,0 | 57,0 | 25,8 |
| 40 | 0,43 | 37,7 | 0,54 | 58,49 | 0,0 | 0,0 | 0,0 | 29,3 | 0,0 | 54,8 | 24,8 |
| 41 | 0,43 | 39,2 | 0,55 | 55,58 | 0,0 | 0,0 | 0,0 | 29,3 | 0,0 | 52,4 | 23,7 |
| 42 | 0,43 | 40,8 | 0,57 | 52,49 | 0,0 | 0,0 | 0,0 | 29,3 | 0,0 | 49,9 | 22,5 |
| 43 | 0,43 | 42,5 | 0,58 | 49,22 | 0,0 | 0,0 | 0,0 | 29,3 | 0,0 | 47,2 | 21,3 |
| 44 | 0,43 | 44,2 | 0,6 | 45,76 | 0,0 | 0,0 | 0,0 | 29,3 | 0,0 | 44,3 | 20,0 |
| 45 | 0,43 | 45,9 | 0,62 | 42,07 | 0,0 | 0,0 | 0,0 | 29,3 | 0,0 | 41,2 | 18,6 |
| 46 | 0,43 | 47,7 | 0,64 | 38,15 | 0,0 | 0,0 | 0,0 | 29,3 | 0,0 | 37,9 | 17,1 |
| 47 | 0,43 | 49,6 | 0,66 | 33,97 | 0,0 | 0,0 | 0,0 | 29,3 | 0,0 | 34,2 | 15,5 |
| 48 | 0,43 | 51,5 | 0,69 | 29,5 | 0,0 | 0,0 | 0,0 | 29,3 | 0,0 | 30,2 | 13,7 |
| 49 | 0,43 | 53,6 | 0,72 | 24,7 | 0,0 | 0,0 | 0,0 | 29,3 | 0,0 | 25,8 | 11,7 |
| 50 | 0,43 | 55,7 | 0,76 | 15,62 | 0,0 | 0,0 | 0,0 | 29,3 | 0,0 | 16,7 | 7,5 |

Analisi di stabilità dei pendii con: BISHOP (1955) – CONDIZIONI SISMICHE

| | |
|---|--------------------|
| Calcolo eseguito secondo | NTC 2008 & Circ. |
| Numero di strati | 4,0 |
| Numero dei conci | 50,0 |
| Grado di sicurezza ritenuto accettabile | 1,1 |
| Coefficiente parziale resistenza | 1,0 |
| Parametri geotecnici da usare. Angolo di attrito: | Picco |
| Analisi | Condizione drenata |
| Superficie di forma circolare | |

Maglia dei Centri

| | |
|---|--------|
| Ascissa vertice sinistro inferiore xi | 2,0 m |
| Ordinata vertice sinistro inferiore yi | 10,0 m |
| Ascissa vertice destro superiore xs | 8,0 m |
| Ordinata vertice destro superiore ys | 20,0 m |
| Passo di ricerca | 10,0 |
| Numero di celle lungo x | 10,0 |
| Numero di celle lungo y | 10,0 |
| Coefficiente azione sismica orizzontale | 0,084 |
| Coefficiente azione sismica verticale | 0,042 |

Vertici profilo

| Nr | X (m) | y (m) |
|----|----------|----------|
| 1 | -22,0 | -6,53 |
| 2 | -14,22 | -5,56 |
| 3 | -10,78 | -4,7 |
| 4 | -1,97 | 0,0 |
| 5 | 0,0 | 0,0 |
| 6 | 1,76 | 3,0 |
| 7 | 2,46 | 3,0 |
| 8 | 10,66 | 8,0 |
| 9 | 22,75 | 8,06 |
| 10 | 24,55 | 8,06 |
| 11 | 25,28 | 8,77 |
| 12 | 33,61 | 13,77 |
| 13 | 34,61 | 13,77 |
| 14 | 42,39 | 18,15 |
| 15 | 47,5 | 19,72 |

Falda

| Nr. | X (m) | y (m) |
|-----|----------|----------|
| 1 | -22,0 | -8,53 |
| 2 | -10,68 | -6,7 |
| 3 | 5,0 | -2,0 |
| 4 | 17,62 | 4,12 |
| 5 | 23,59 | 5,59 |
| 6 | 27,62 | 6,79 |
| 7 | 30,08 | 9,51 |
| 8 | 40,41 | 13,6 |
| 9 | 47,62 | 16,68 |

Vertici strato1

| N | X (m) | y (m) |
|----|----------|----------|
| 1 | -22,0 | -6,53 |
| 2 | -14,22 | -5,56 |
| 3 | -10,78 | -4,7 |
| 4 | -1,97 | 0,0 |
| 5 | 0,0 | 0,0 |
| 6 | 0,02 | 0,03 |
| 7 | 8,0 | 0,03 |
| 8 | 21,32 | 6,05 |
| 9 | 33,81 | 13,77 |
| 10 | 34,61 | 13,77 |
| 11 | 42,39 | 18,15 |
| 12 | 47,5 | 19,72 |

Vertici strato2

| N | X (m) | y (m) |
|---|----------|----------|
| 1 | -22,0 | -12,93 |
| 2 | -14,22 | -11,96 |
| 3 | 4,18 | -3,11 |
| 4 | 17,5 | 4,11 |
| 5 | 23,47 | 6,83 |
| 6 | 27,76 | 6,84 |
| 7 | 29,95 | 9,5 |
| 8 | 40,29 | 11,2 |
| 9 | 47,5 | 11,2 |

Vertici strato3

| N | X (m) | y (m) |
|---|----------|----------|
| 1 | -22,0 | -14,93 |
| 2 | -12,35 | -13,73 |
| 3 | 24,56 | 4,74 |
| 4 | 31,77 | 4,76 |
| 5 | 37,23 | 8,68 |
| 6 | 47,5 | 9,11 |

Coefficienti parziali azioni

| | | |
|------------------------------------|-----|-----|
| Sfavorevoli: Permanenti, variabili | 1,0 | 1,0 |
| Favorevoli: Permanenti, variabili | 1,0 | 1,0 |

Coefficienti parziali per i parametri geotecnici del terreno

| | |
|---|------|
| Tangente angolo di resistenza al taglio | 1,25 |
| Coesione efficace | 1,25 |
| Coesione non drenata | 1,4 |
| Riduzione parametri geotecnici terreno | Si |

Stratigrafia

| Strato | Coesione (kN/m ²) | Coesione non drenata (kN/m ²) | Angolo resistenza al taglio (°) | Peso unità di volume (kN/m ³) | Peso saturo (kN/m ³) | Litologia | |
|--------|----------------------------------|---|--|---|-------------------------------------|-----------|--|
| 1 | 0 | | 35 | 20 | 20 | Rilevato | |
| 2 | 10 | | 25 | 19 | 19 | Ecla | |
| 3 | 10 | | 26 | 19 | 19 | Salt | |

| | | | | | | |
|---|----|--|----|----|----|----|
| 4 | 70 | | 36 | 23 | 23 | Ap |
|---|----|--|----|----|----|----|

Terra rinforzata

| No | Tipologia | Tallow (kN) | Resistenza sfilamento (kN) |
|----|------------|-------------|----------------------------|
| 1 | Geogriglie | 28,99 | 102,4205 |
| 2 | Geogriglie | 28,99 | 95,67636 |
| 3 | Geogriglie | 28,99 | 89,58981 |
| 4 | Geogriglie | 28,99 | 84,36487 |
| 5 | Geogriglie | 28,99 | 80,2998 |
| 6 | Geogriglie | 28,99 | 77,84846 |

Carichi distribuiti

| N° | xi (m) | yi (m) | xf (m) | yf (m) | Carico esterno (kN/m²) |
|----|--------|--------|--------|----------|------------------------|
| 1 | 12 | 8 | 22 | 8,050961 | 30 |

Risultati analisi pendio [NTC 2008 & Circ.]

| | |
|----------------------------|--------|
| Fs minimo individuato | 0,98 |
| Ascissa centro superficie | 2,0 m |
| Ordinata centro superficie | 19,0 m |
| Raggio superficie | 20,0 m |

$$x_c = 5,60 \quad y_c = 13,00 \quad R_c = 14,455 \quad F_s = 1,10$$

| Nr. | B m | Alfa (°) | Li m | Wi (kN) | Kh•Wi (kN) | Kv•Wi (kN) | c (kN/m²) | Fi (°) | Ui (kN) | N'i (kN) | Ti (kN) |
|-----|--------|-------------|---------|------------|---------------|---------------|--------------|-----------|------------|-------------|------------|
| 1 | 0,4 | -25,1 | 0,44 | 0,72 | 0,06 | 0,03 | 8,0 | 20,5 | 0,0 | 2,7 | 4,1 |
| 2 | 0,4 | -23,3 | 0,43 | 2,07 | 0,17 | 0,09 | 8,0 | 20,5 | 0,0 | 4,2 | 4,6 |
| 3 | 0,4 | -21,6 | 0,43 | 7,02 | 0,59 | 0,29 | 8,0 | 20,5 | 0,0 | 10,2 | 6,6 |
| 4 | 0,4 | -19,9 | 0,42 | 13,57 | 1,14 | 0,57 | 8,0 | 20,5 | 0,0 | 17,7 | 9,1 |
| 5 | 0,4 | -18,3 | 0,42 | 20,02 | 1,68 | 0,84 | 8,0 | 20,5 | 0,0 | 24,9 | 11,5 |
| 6 | 0,49 | -16,4 | 0,51 | 33,32 | 2,8 | 1,4 | 8,0 | 20,5 | 0,0 | 39,8 | 17,3 |
| 7 | 0,31 | -14,8 | 0,32 | 24,07 | 2,02 | 1,01 | 8,0 | 20,5 | 0,0 | 28,0 | 11,9 |
| 8 | 0,4 | -13,3 | 0,41 | 31,92 | 2,68 | 1,34 | 8,0 | 20,5 | 0,0 | 36,5 | 15,4 |
| 9 | 0,4 | -11,7 | 0,41 | 33,58 | 2,82 | 1,41 | 8,0 | 20,5 | 0,0 | 37,6 | 15,8 |
| 10 | 0,4 | -10,1 | 0,4 | 36,09 | 3,03 | 1,52 | 8,0 | 20,5 | 0,0 | 39,6 | 16,4 |
| 11 | 0,4 | -8,5 | 0,4 | 38,52 | 3,24 | 1,62 | 8,0 | 20,5 | 0,0 | 41,5 | 17,1 |
| 12 | 0,4 | -6,9 | 0,4 | 40,86 | 3,43 | 1,72 | 8,0 | 20,5 | 0,0 | 43,3 | 17,7 |
| 13 | 0,4 | -5,3 | 0,4 | 43,12 | 3,62 | 1,81 | 8,0 | 20,5 | 0,0 | 45,0 | 18,3 |
| 14 | 0,4 | -3,8 | 0,4 | 45,29 | 3,8 | 1,9 | 8,0 | 20,5 | 0,0 | 46,6 | 18,8 |
| 15 | 0,4 | -2,2 | 0,4 | 47,37 | 3,98 | 1,99 | 8,0 | 20,5 | 0,0 | 48,1 | 19,3 |
| 16 | 0,4 | -0,6 | 0,4 | 49,38 | 4,15 | 2,07 | 8,0 | 20,5 | 0,0 | 49,6 | 19,8 |
| 17 | 0,4 | 1,0 | 0,4 | 51,3 | 4,31 | 2,15 | 8,0 | 20,5 | 0,0 | 51,0 | 20,3 |
| 18 | 0,4 | 2,6 | 0,4 | 53,14 | 4,46 | 2,23 | 8,0 | 20,5 | 0,2 | 52,1 | 20,7 |
| 19 | 0,4 | 4,1 | 0,4 | 54,9 | 4,61 | 2,31 | 8,0 | 20,5 | 0,8 | 52,7 | 20,9 |
| 20 | 0,4 | 5,7 | 0,4 | 56,57 | 4,75 | 2,38 | 8,0 | 20,5 | 1,5 | 53,3 | 21,1 |
| 21 | 0,4 | 7,3 | 0,4 | 58,16 | 4,89 | 2,44 | 8,0 | 20,5 | 2,0 | 53,9 | 21,3 |
| 22 | 0,4 | 8,9 | 0,4 | 59,66 | 5,01 | 2,51 | 8,0 | 21,3 | 2,5 | 54,3 | 22,3 |
| 23 | 0,4 | 10,5 | 0,4 | 61,04 | 5,13 | 2,56 | 8,0 | 21,3 | 3,1 | 54,8 | 22,5 |
| 24 | 0,4 | 12,1 | 0,41 | 62,3 | 5,23 | 2,62 | 8,0 | 21,3 | 3,5 | 55,3 | 22,7 |
| 25 | 0,4 | 13,7 | 0,41 | 63,47 | 5,33 | 2,67 | 8,0 | 21,3 | 3,9 | 55,7 | 22,9 |
| 26 | 0,4 | 15,4 | 0,41 | 64,55 | 5,42 | 2,71 | 8,0 | 21,3 | 4,2 | 56,2 | 23,0 |
| 27 | 0,4 | 17,0 | 0,42 | 65,53 | 5,5 | 2,75 | 8,0 | 21,3 | 4,5 | 56,7 | 23,2 |
| 28 | 0,4 | 18,7 | 0,42 | 66,42 | 5,58 | 2,79 | 8,0 | 21,3 | 4,8 | 57,1 | 23,4 |

| | | | | | | | | | | | |
|----|------|------|------|-------|------|------|-----|------|-----|------|------|
| 29 | 0,24 | 20,0 | 0,25 | 39,65 | 3,33 | 1,67 | 8,0 | 21,3 | 3,0 | 34,0 | 13,9 |
| 30 | 0,56 | 21,7 | 0,6 | 93,59 | 7,86 | 3,93 | 8,0 | 21,3 | 7,2 | 79,8 | 32,9 |
| 31 | 0,4 | 23,7 | 0,43 | 64,85 | 5,45 | 2,72 | 8,0 | 21,3 | 5,2 | 55,1 | 22,8 |
| 32 | 0,4 | 25,5 | 0,44 | 63,86 | 5,36 | 2,68 | 8,0 | 21,3 | 5,3 | 54,2 | 22,5 |
| 33 | 0,4 | 27,2 | 0,45 | 73,81 | 6,2 | 3,1 | 8,0 | 21,3 | 5,3 | 63,7 | 26,0 |
| 34 | 0,4 | 29,0 | 0,46 | 72,14 | 6,06 | 3,03 | 8,0 | 21,3 | 5,2 | 62,4 | 25,5 |
| 35 | 0,4 | 30,8 | 0,46 | 70,36 | 5,91 | 2,95 | 8,0 | 21,3 | 5,1 | 61,0 | 25,1 |
| 36 | 0,4 | 32,7 | 0,47 | 68,44 | 5,75 | 2,87 | 8,0 | 21,3 | 4,8 | 59,7 | 24,7 |
| 37 | 0,4 | 34,6 | 0,48 | 66,38 | 5,58 | 2,79 | 8,0 | 21,3 | 4,6 | 58,3 | 24,3 |
| 38 | 0,4 | 36,5 | 0,5 | 64,17 | 5,39 | 2,7 | 8,0 | 21,3 | 4,2 | 56,9 | 23,9 |
| 39 | 0,4 | 38,5 | 0,51 | 61,81 | 5,19 | 2,6 | 8,0 | 21,3 | 3,8 | 55,5 | 23,5 |
| 40 | 0,4 | 40,6 | 0,52 | 59,27 | 4,98 | 2,49 | 8,0 | 21,3 | 3,3 | 54,0 | 23,1 |
| 41 | 0,4 | 42,7 | 0,54 | 56,54 | 4,75 | 2,37 | 8,0 | 21,3 | 2,6 | 52,5 | 22,6 |
| 42 | 0,4 | 44,9 | 0,56 | 53,6 | 4,5 | 2,25 | 8,0 | 21,3 | 1,9 | 50,9 | 22,2 |
| 43 | 0,4 | 47,1 | 0,59 | 50,43 | 4,24 | 2,12 | 8,0 | 21,3 | 1,1 | 49,1 | 21,8 |
| 44 | 0,4 | 49,5 | 0,61 | 46,99 | 3,95 | 1,97 | 8,0 | 21,3 | 0,1 | 47,3 | 21,3 |
| 45 | 0,4 | 52,0 | 0,65 | 43,25 | 3,63 | 1,82 | 0,0 | 29,3 | 0,0 | 42,5 | 21,7 |
| 46 | 0,4 | 54,7 | 0,69 | 39,01 | 3,28 | 1,64 | 0,0 | 29,3 | 0,0 | 39,2 | 20,0 |
| 47 | 0,4 | 57,5 | 0,74 | 34,32 | 2,88 | 1,44 | 0,0 | 29,3 | 0,0 | 35,4 | 18,1 |
| 48 | 0,4 | 60,6 | 0,81 | 29,07 | 2,44 | 1,22 | 0,0 | 29,3 | 0,0 | 31,0 | 15,9 |
| 49 | 0,4 | 64,0 | 0,91 | 23,07 | 1,94 | 0,97 | 0,0 | 29,3 | 0,0 | 25,7 | 13,1 |
| 50 | 0,4 | 67,9 | 1,06 | 13,03 | 1,09 | 0,55 | 0,0 | 29,3 | 0,0 | 15,3 | 7,8 |
